

FIG. 1 (PRIOR ART)

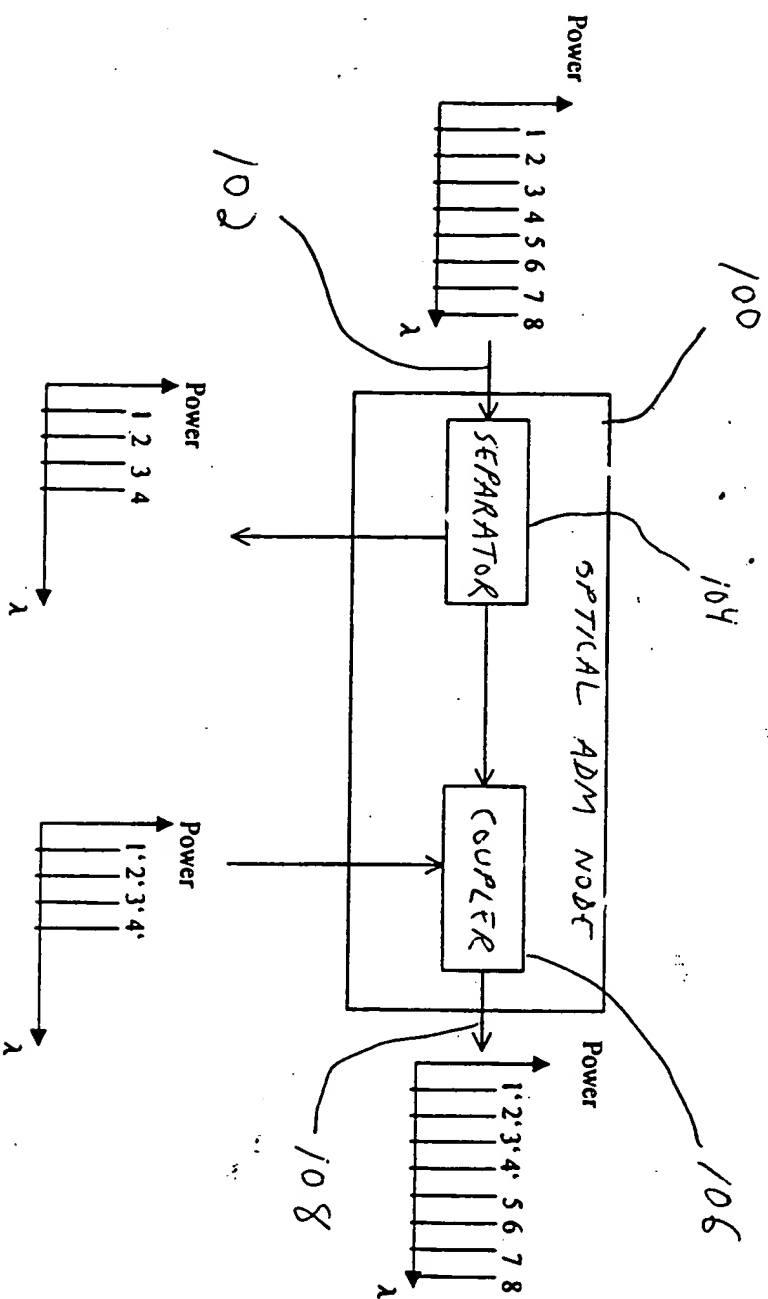


FIG. 2 (PRIOR ART)

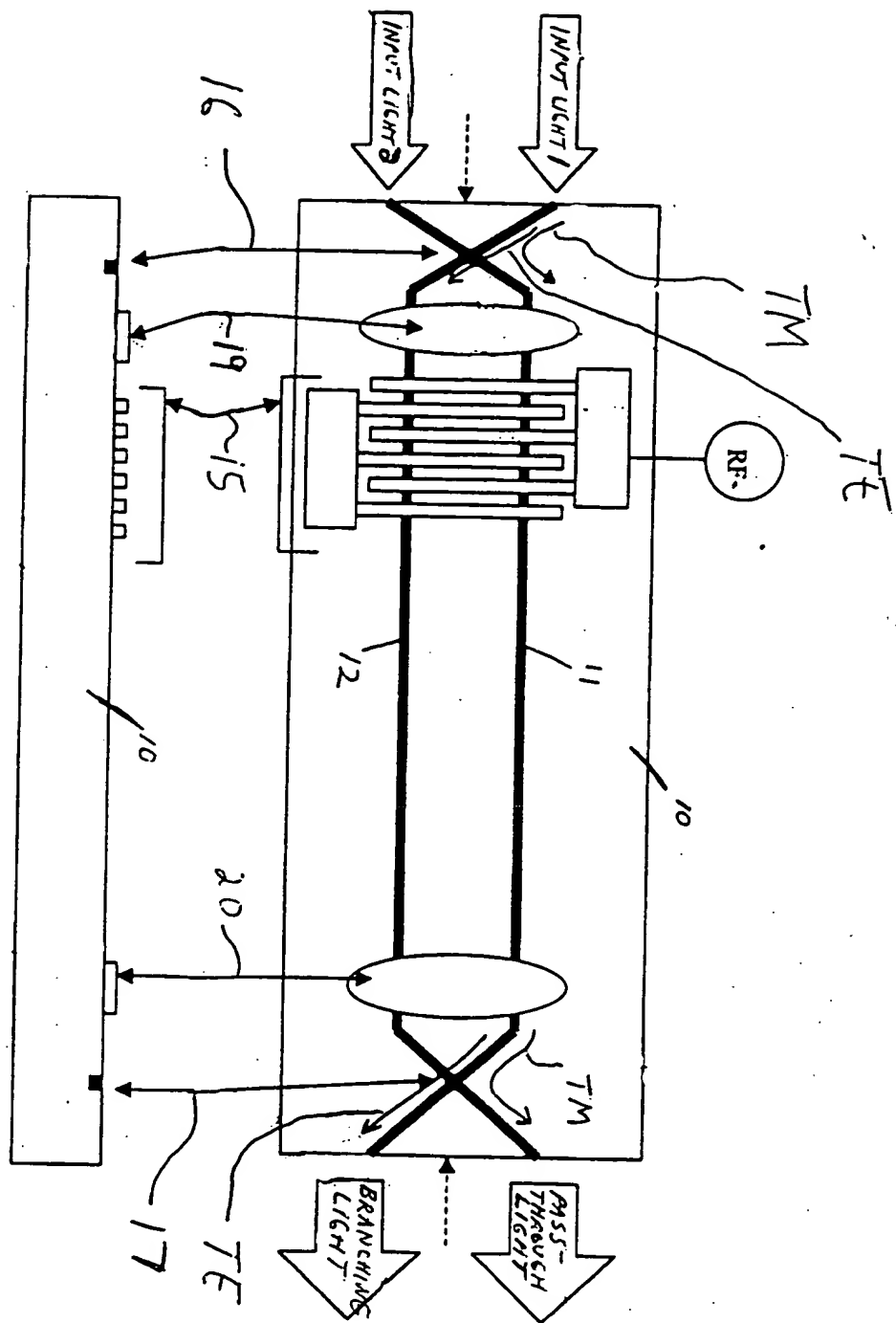
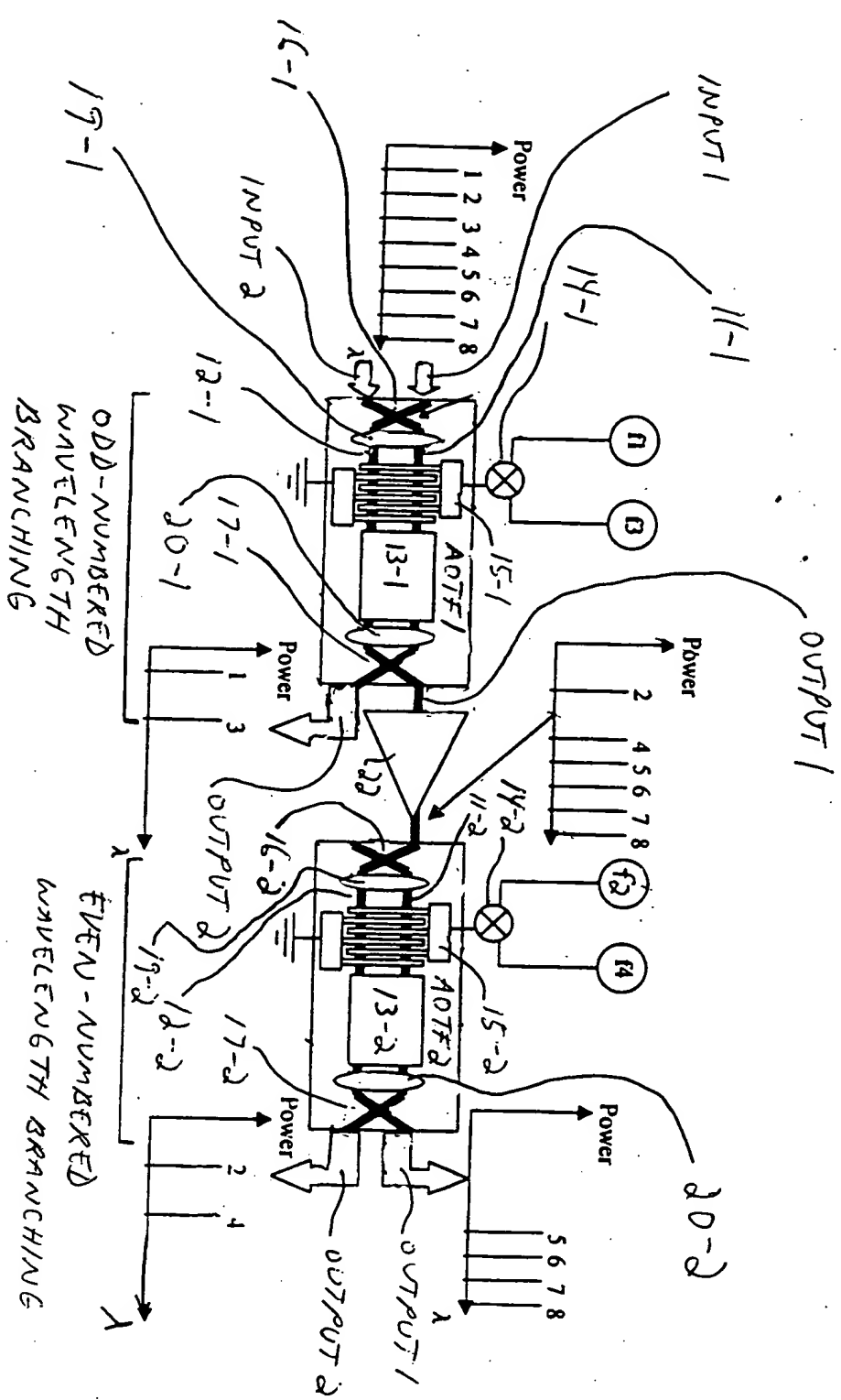
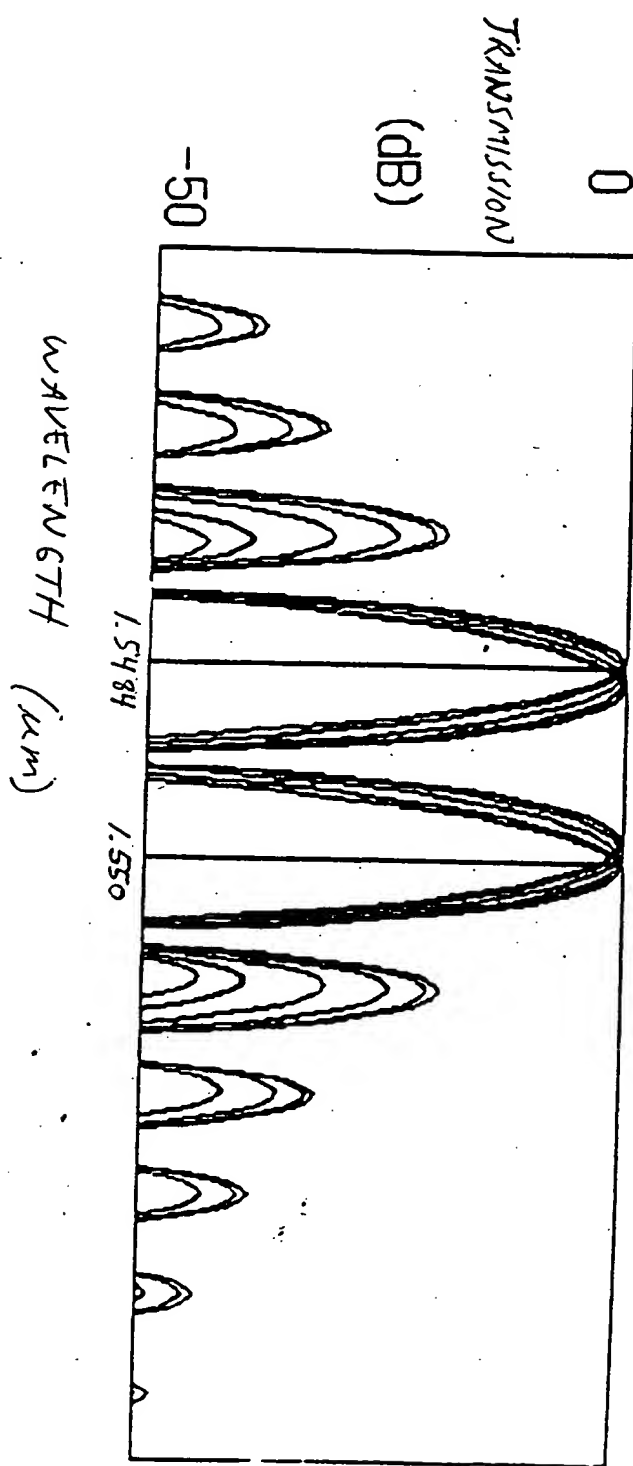


Fig. 3



ପରିବହନ ବିଭାଗ

FIG. 4



5/1/15

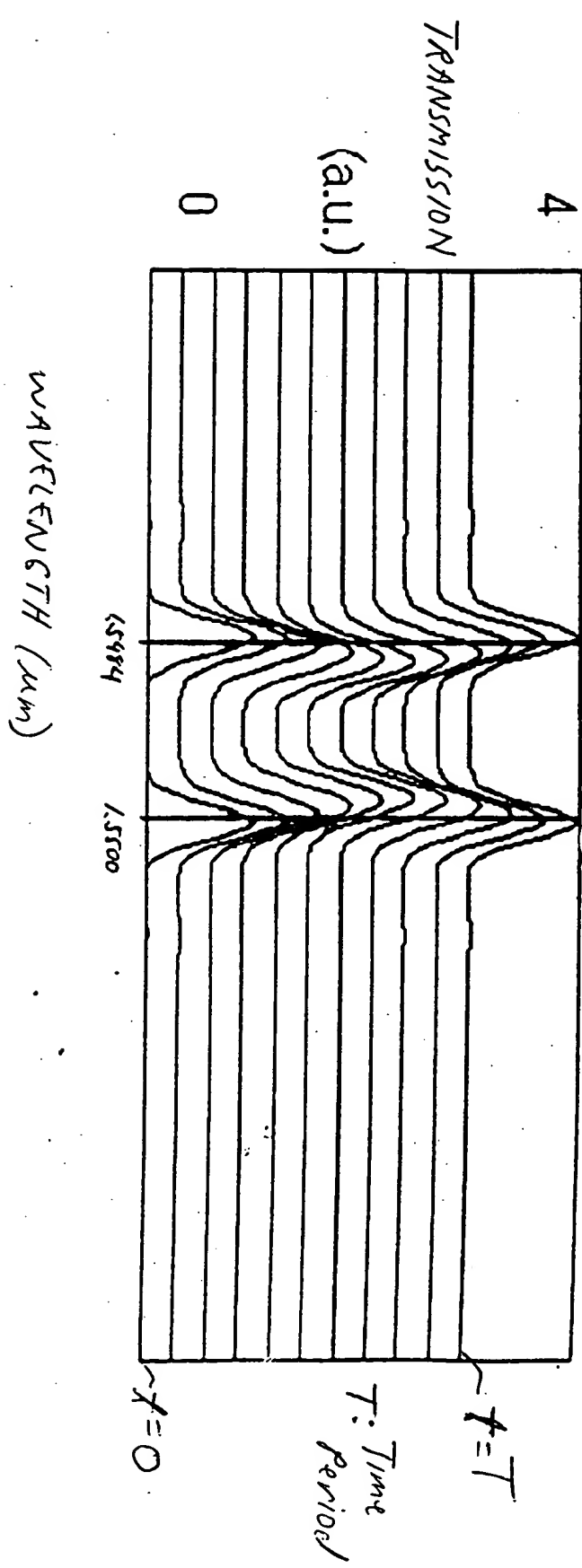


FIG. 6

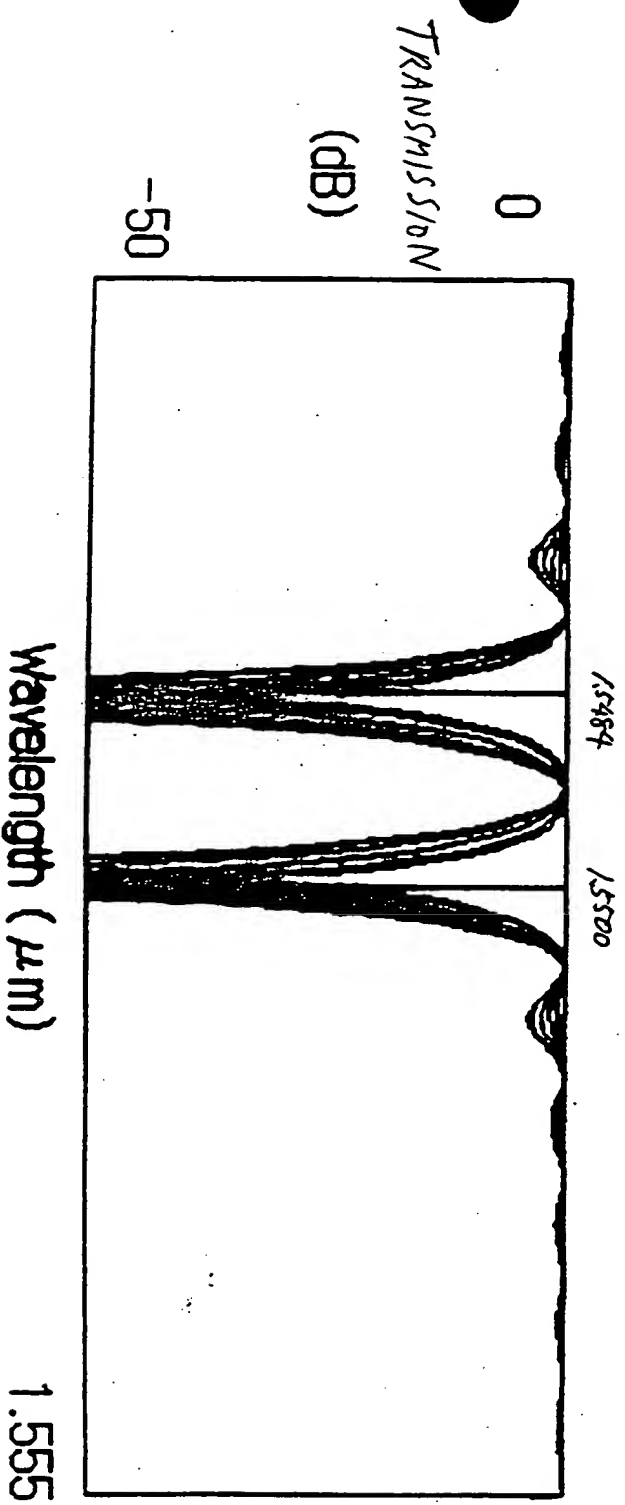
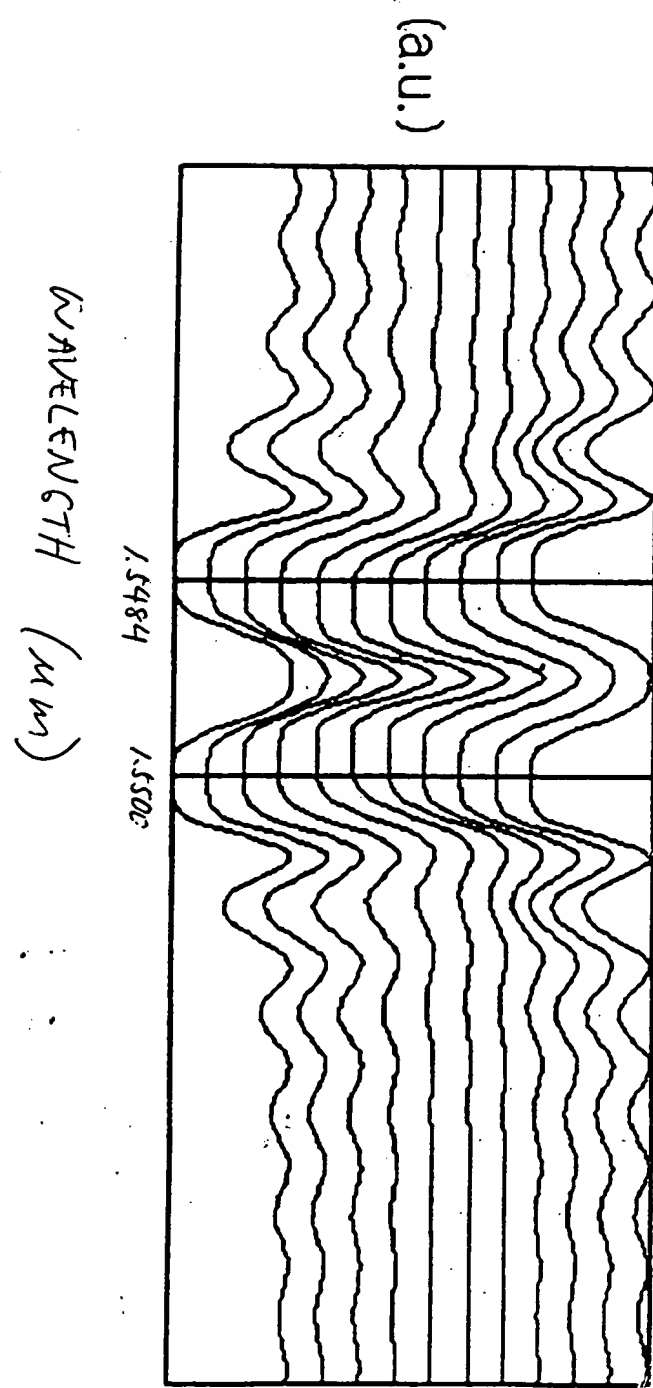


FIG. 7



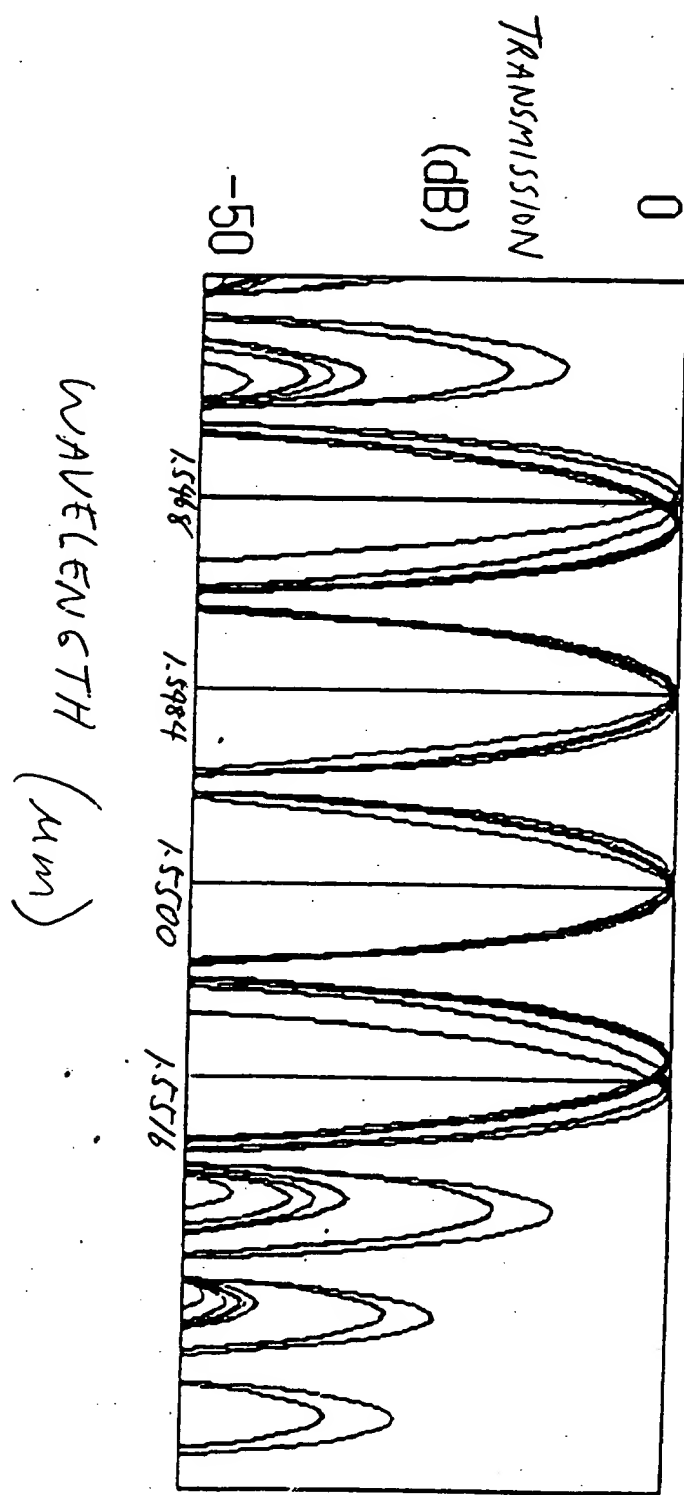


FIG. 9

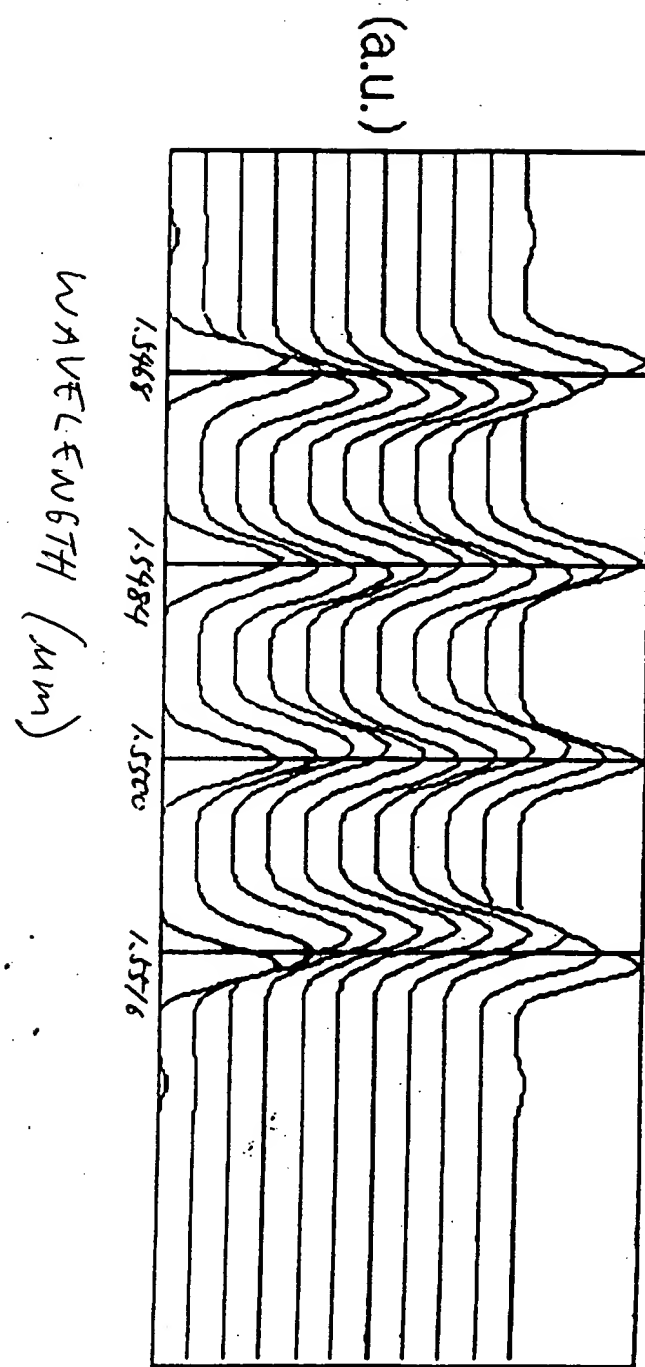
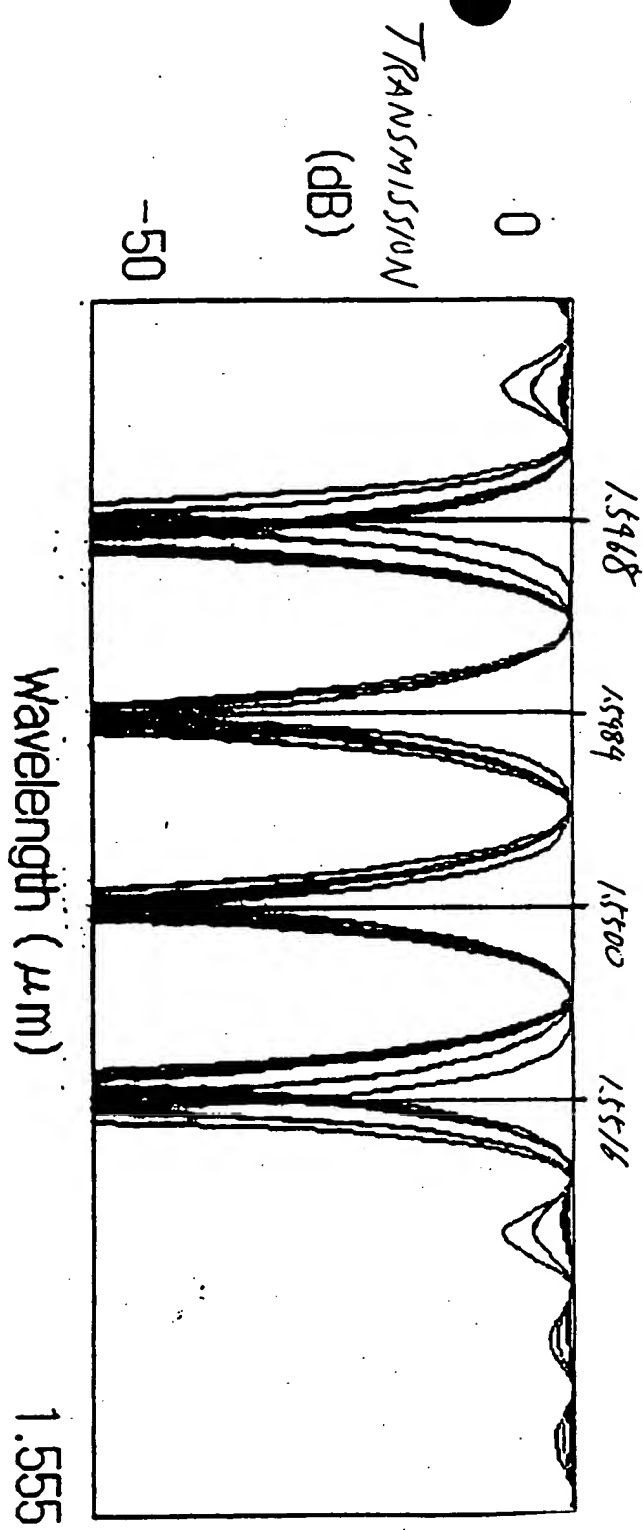


Fig. 10



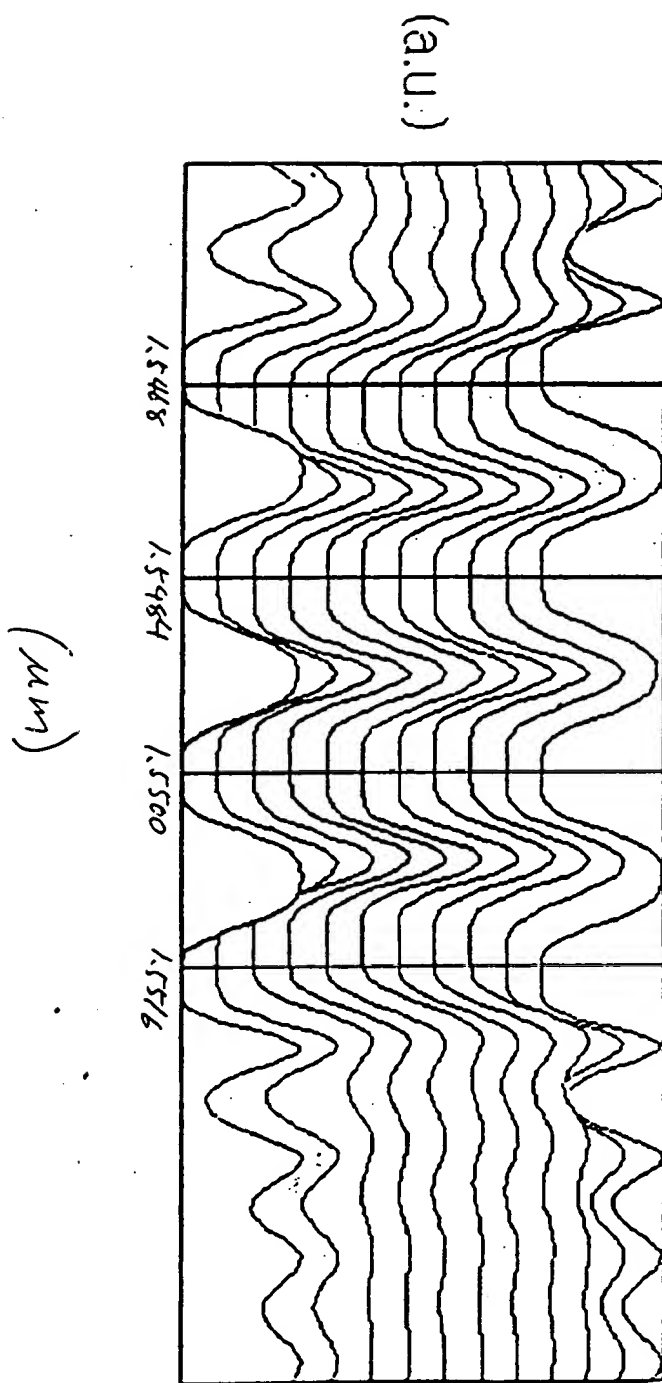


Fig. 11

FIG. 12

INTENSITY
OF
BEAT
(a.u.)

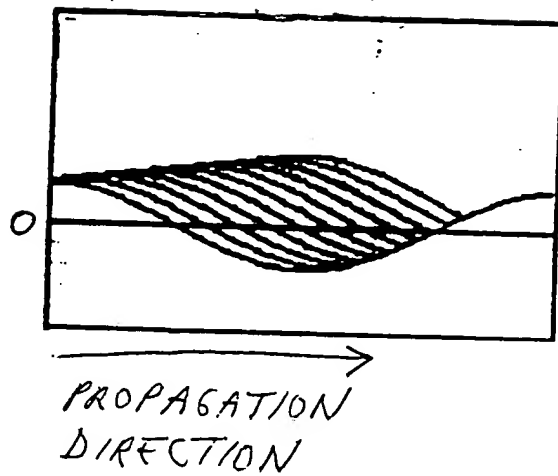
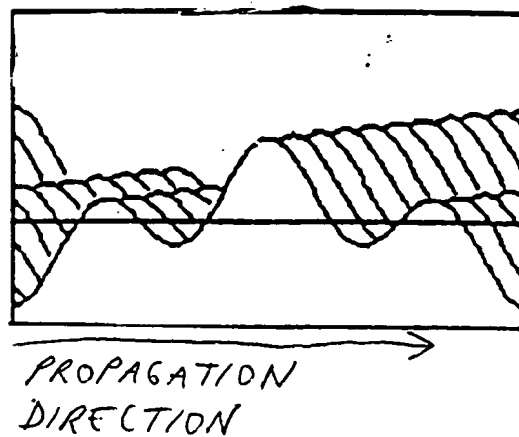
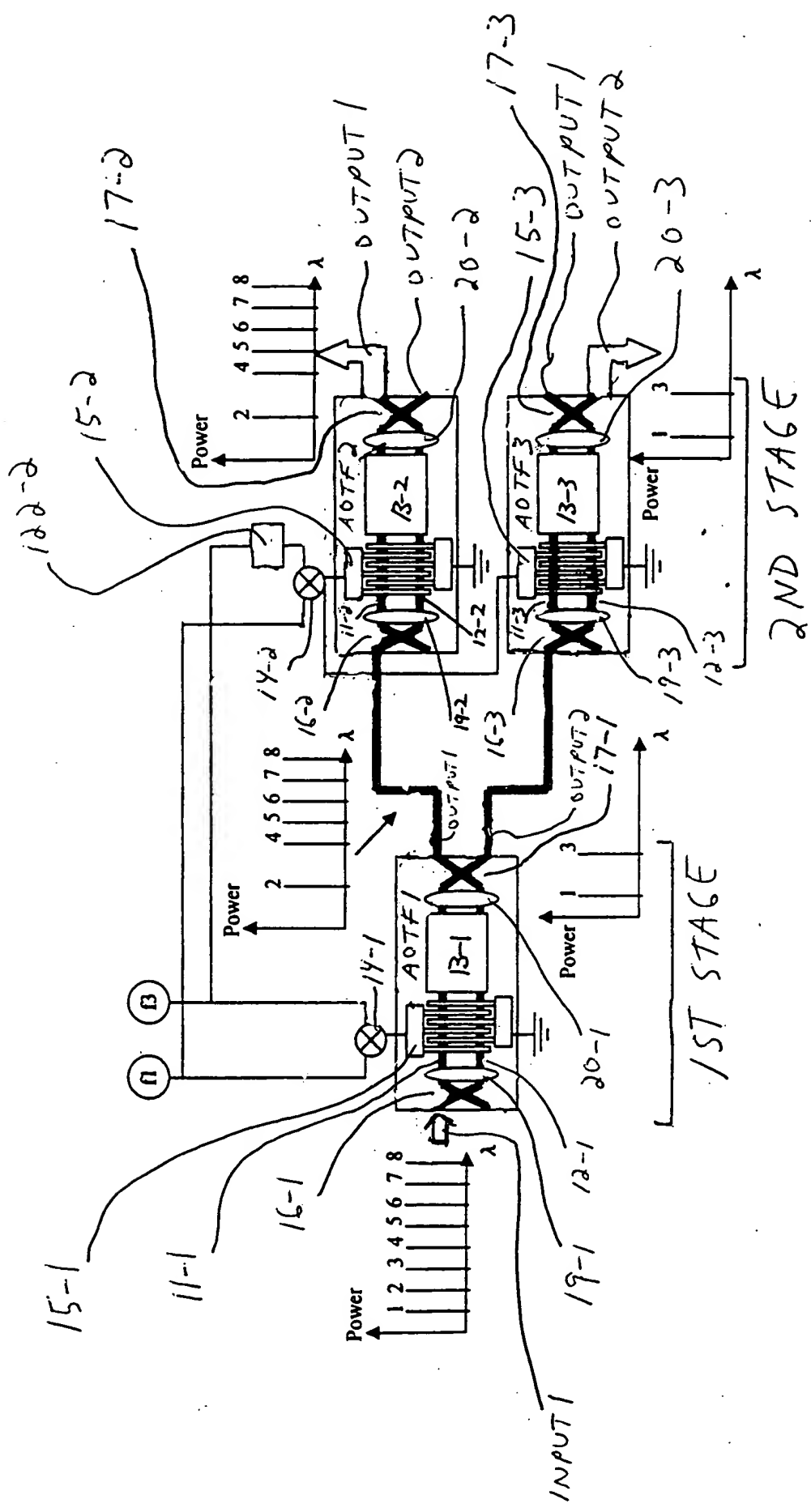


FIG. 13

INTENSITY
OF
BEAT
(a.u.)



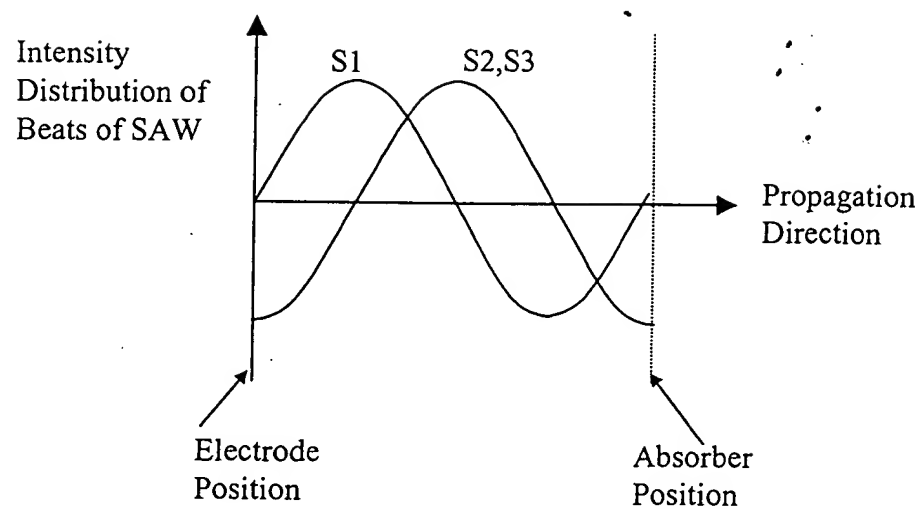
557720 " 2018-03-03
F/6.14



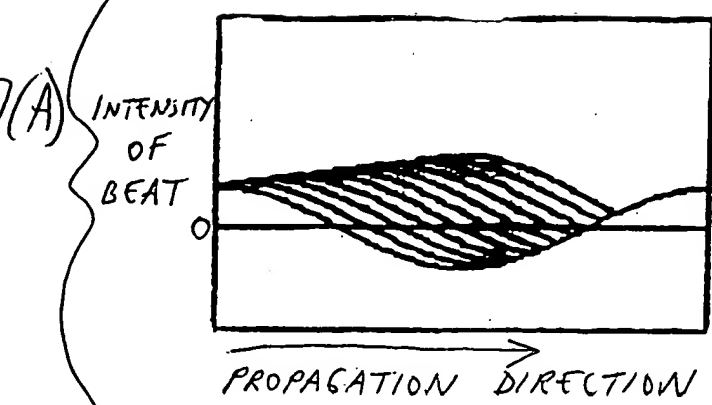
F/6.15

	f1	f3
ATF1	0°	0°
ATF3	0°	180° (12 ²⁻²)

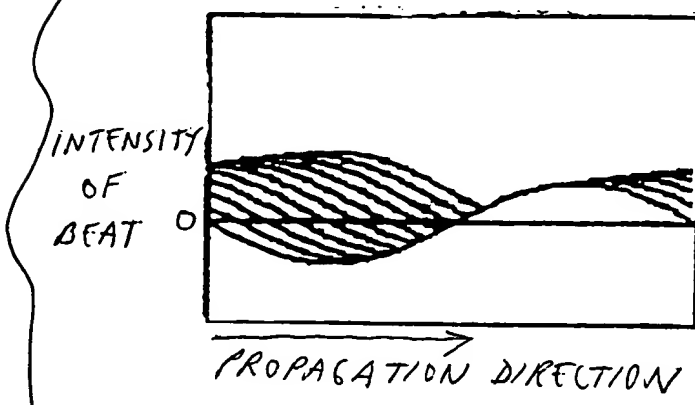
FIG. 16



F16. 17(A)

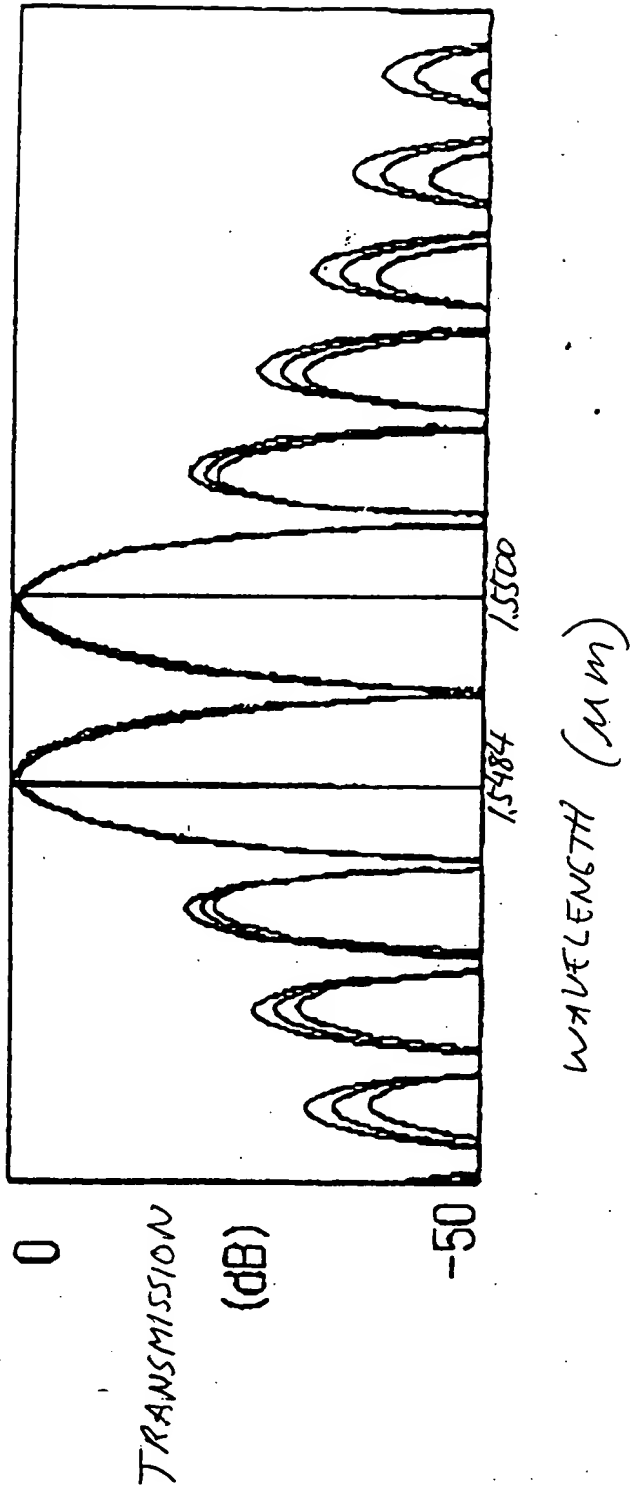


F16.
17(B)



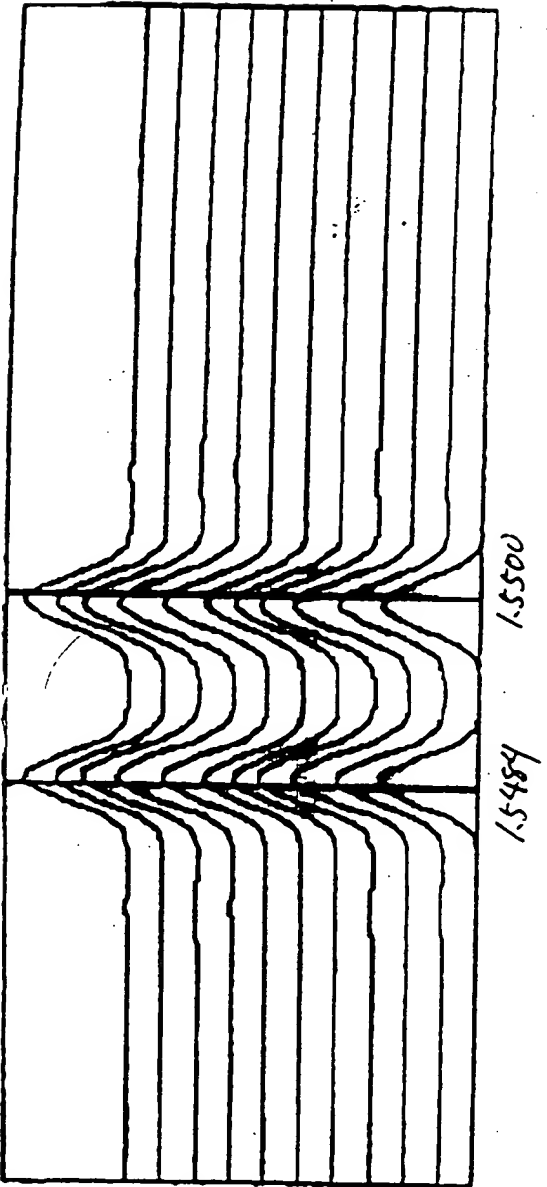
667120 " 201200

F16.18



Engr T 20 " 20 T 20

F/6.19



1.5484 1.5500

WAVELENGTH (μm)

F/6.20

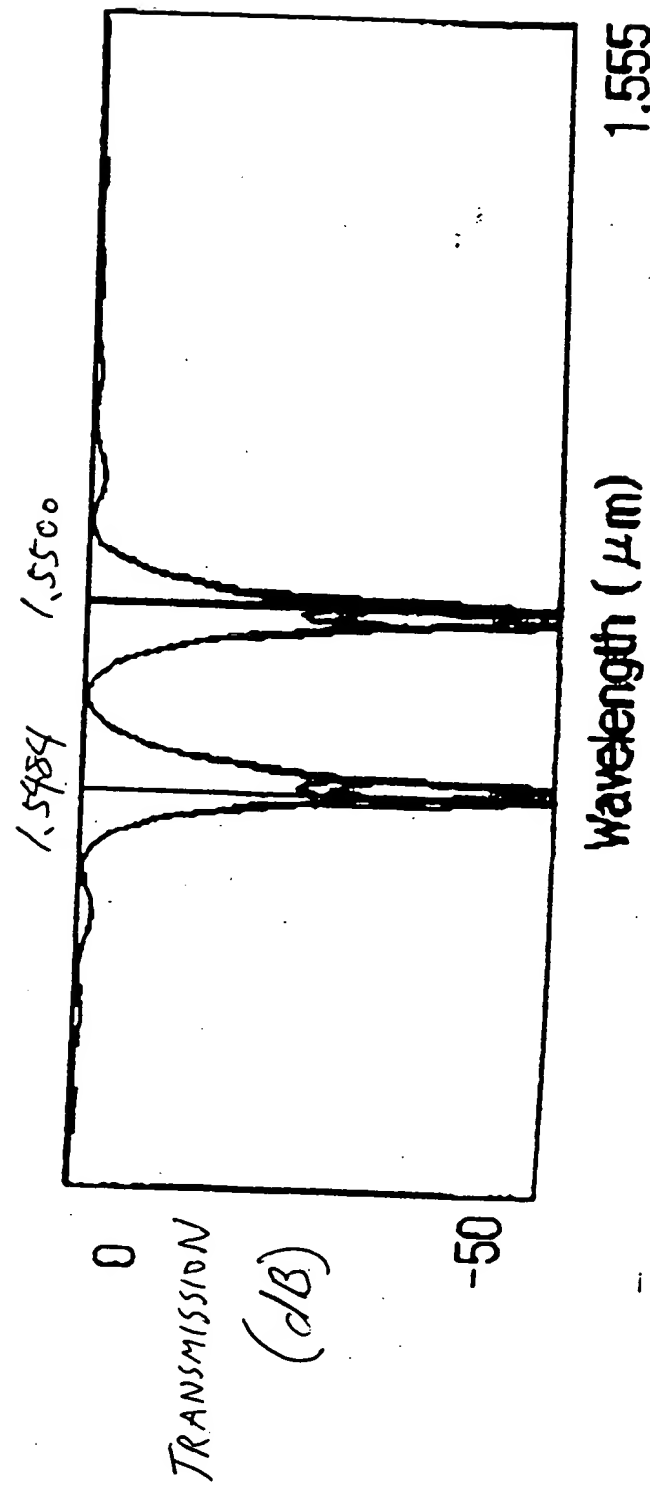
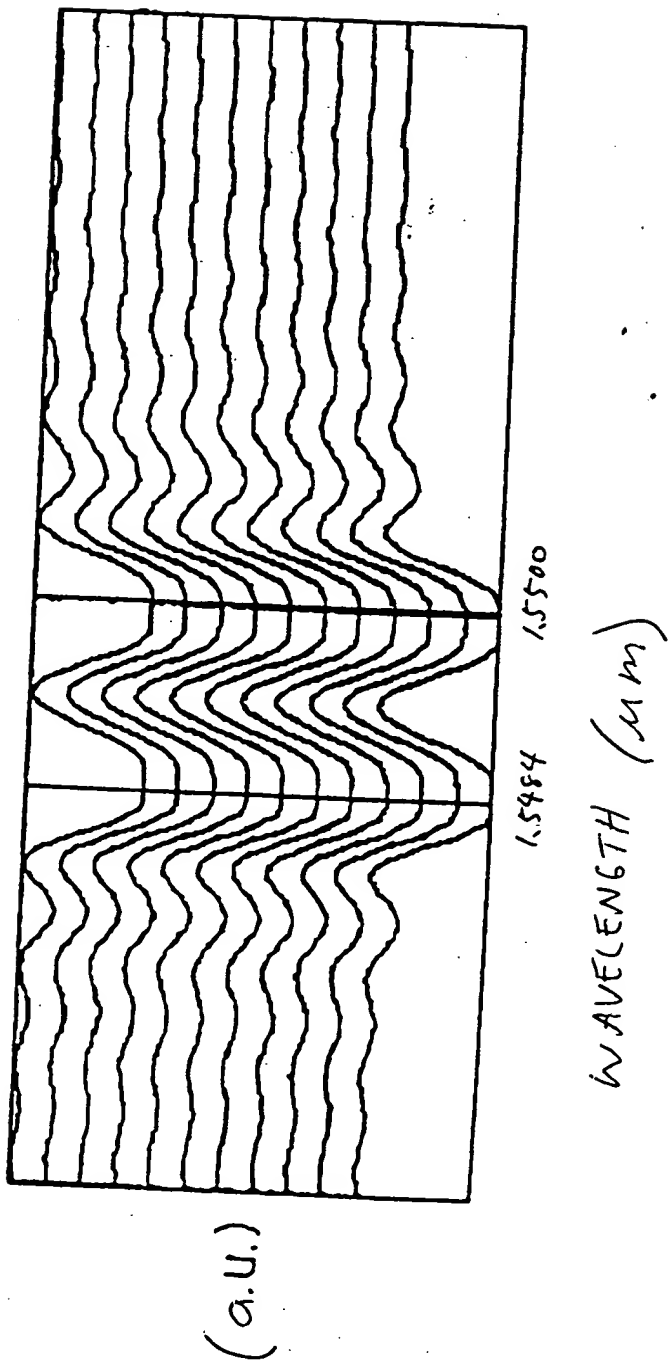
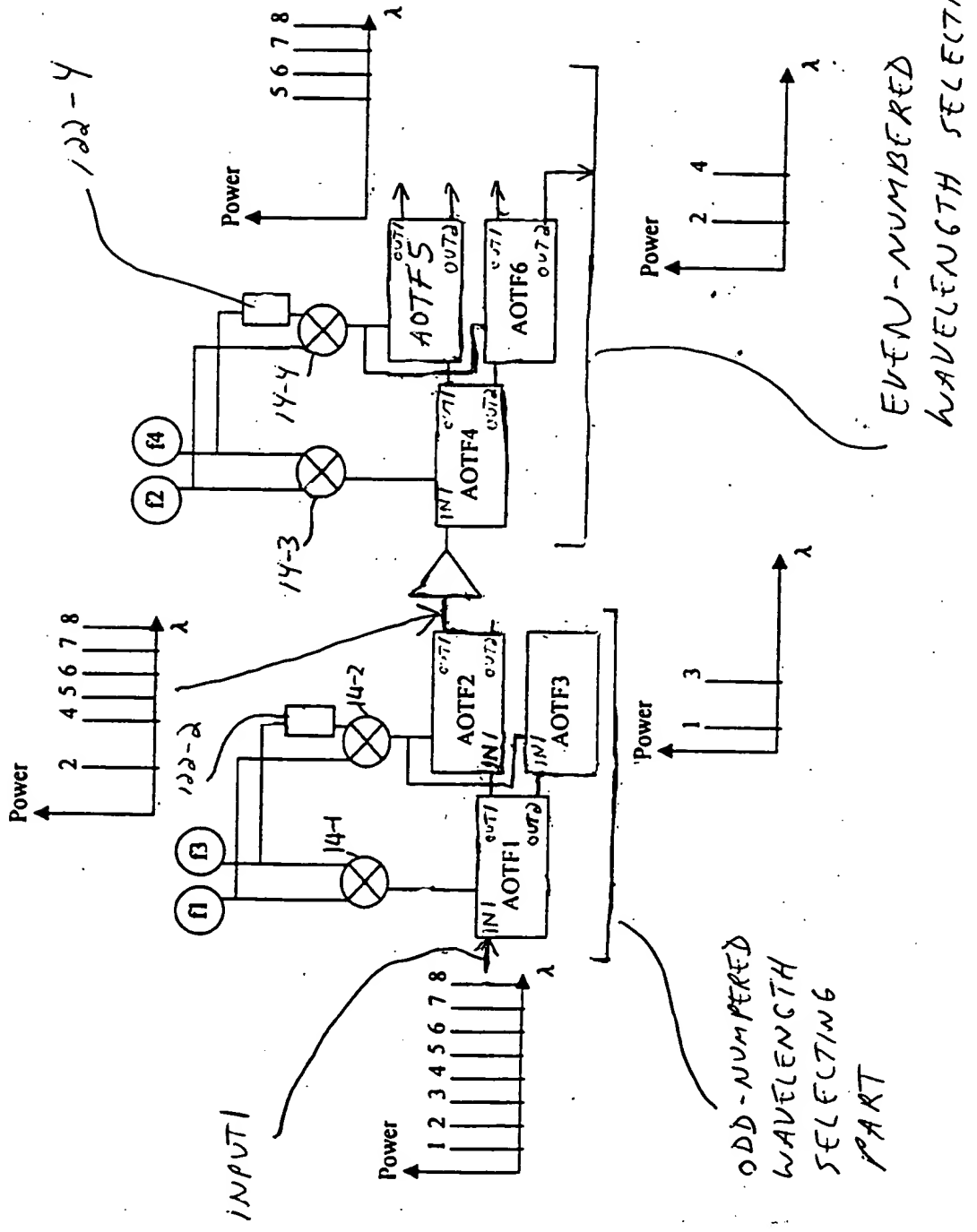


Fig. 21



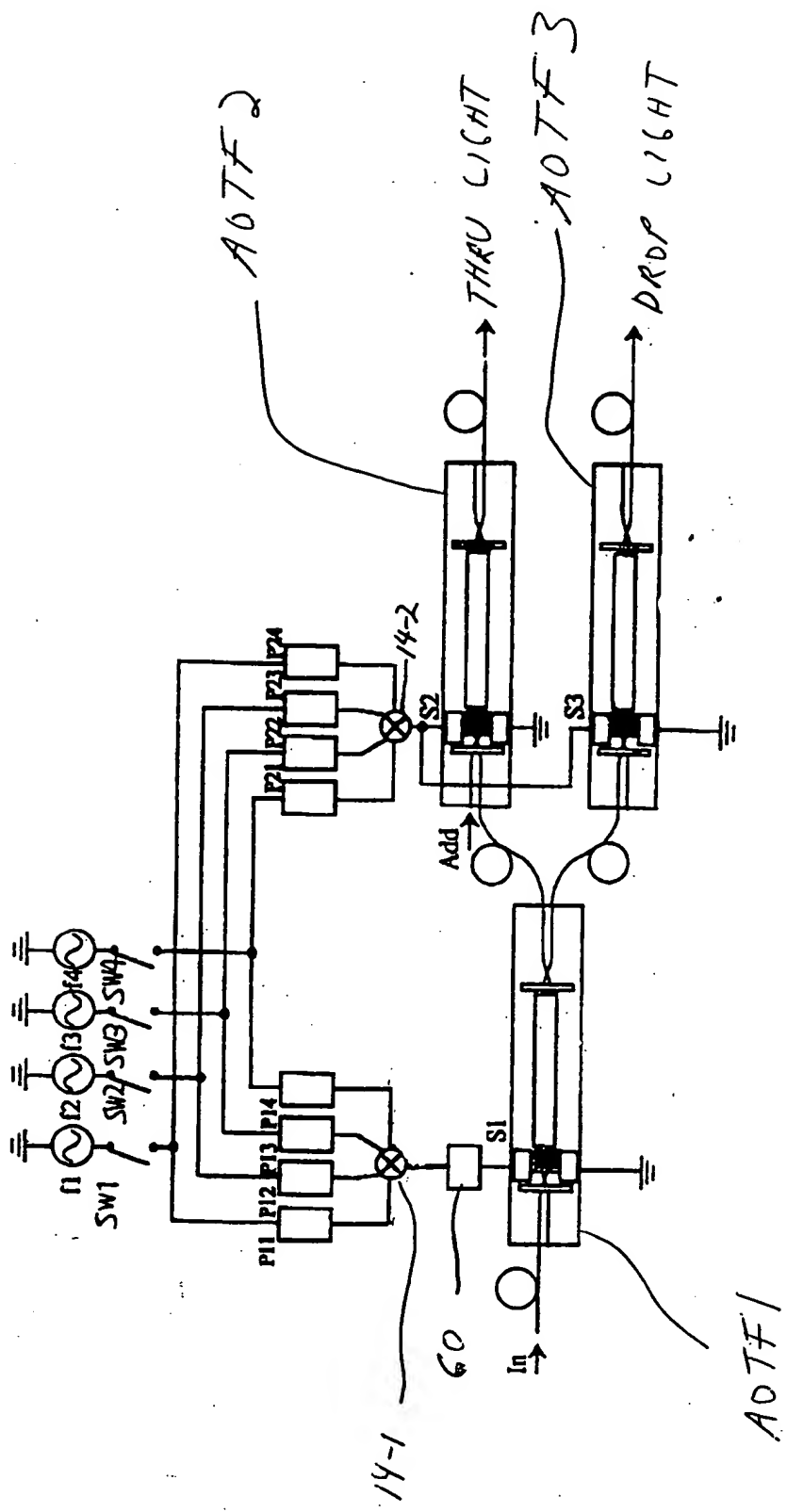
卷之三

Fig. 22



5/6/23 2020 2020 2020

5/6.23

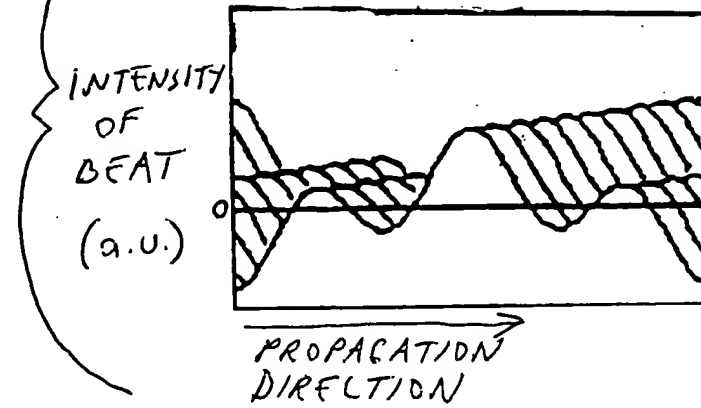


16.24

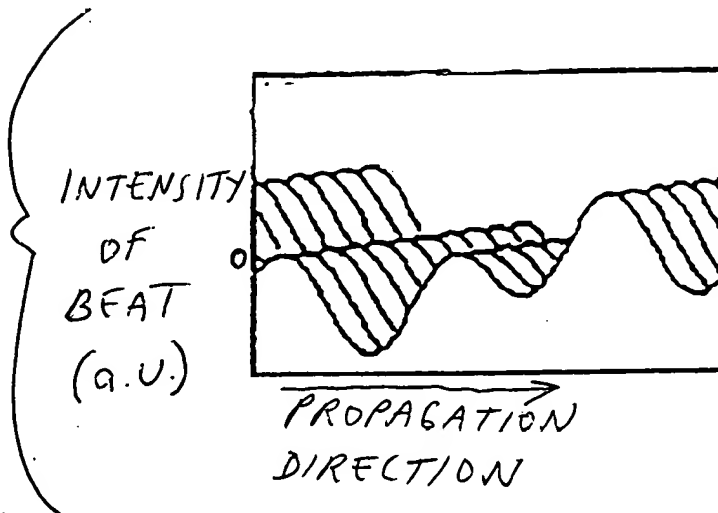
	f1	f2	f3	f4
AOTF1	0° (P11)	0° (P12)	0° (P13)	0° (P14)
AOTF2 AOTF3	0° (P24)	180° (P23)	0° (P22)	180° (P21)

022433403 - 02243350

F16
25(A)

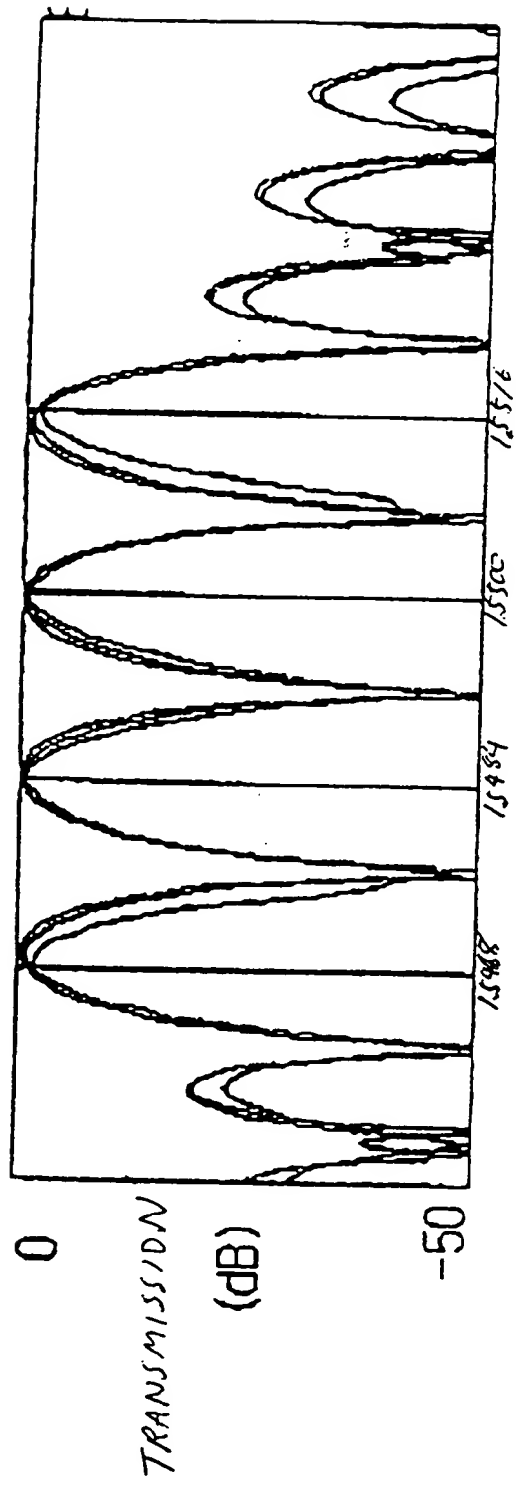


F16
25(B)



15.5% 15.5% 15.5% 15.5% 15.5%

15.26



WAVELENGTH (μm)

F/6.27

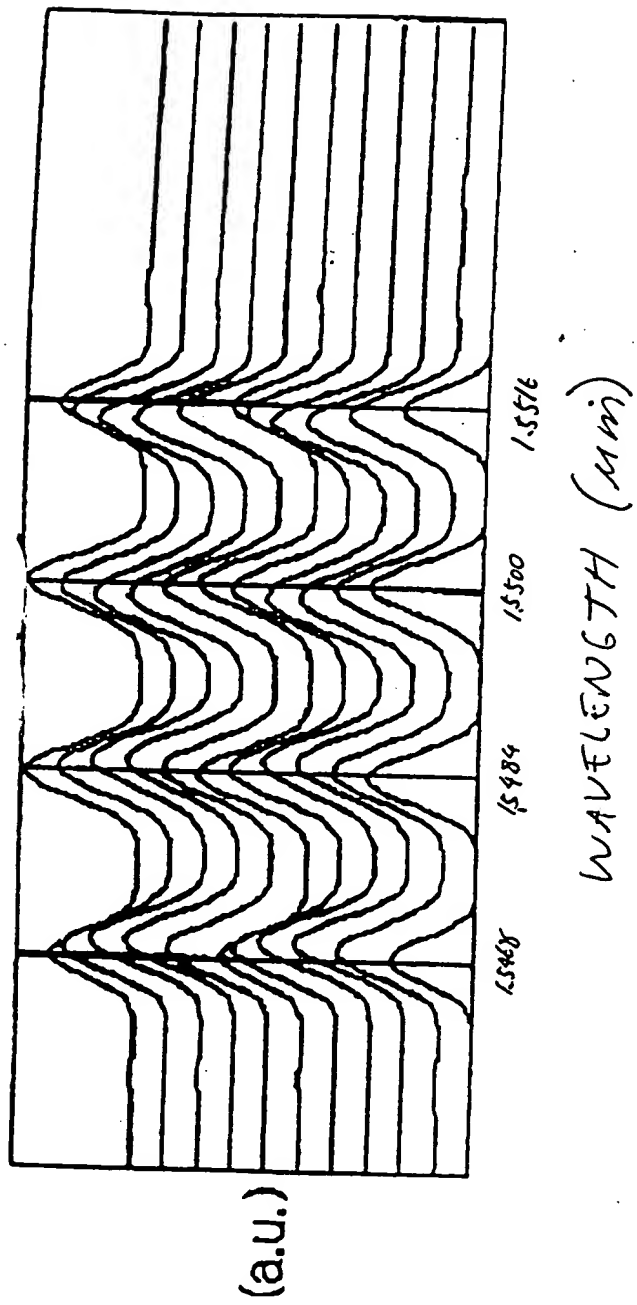
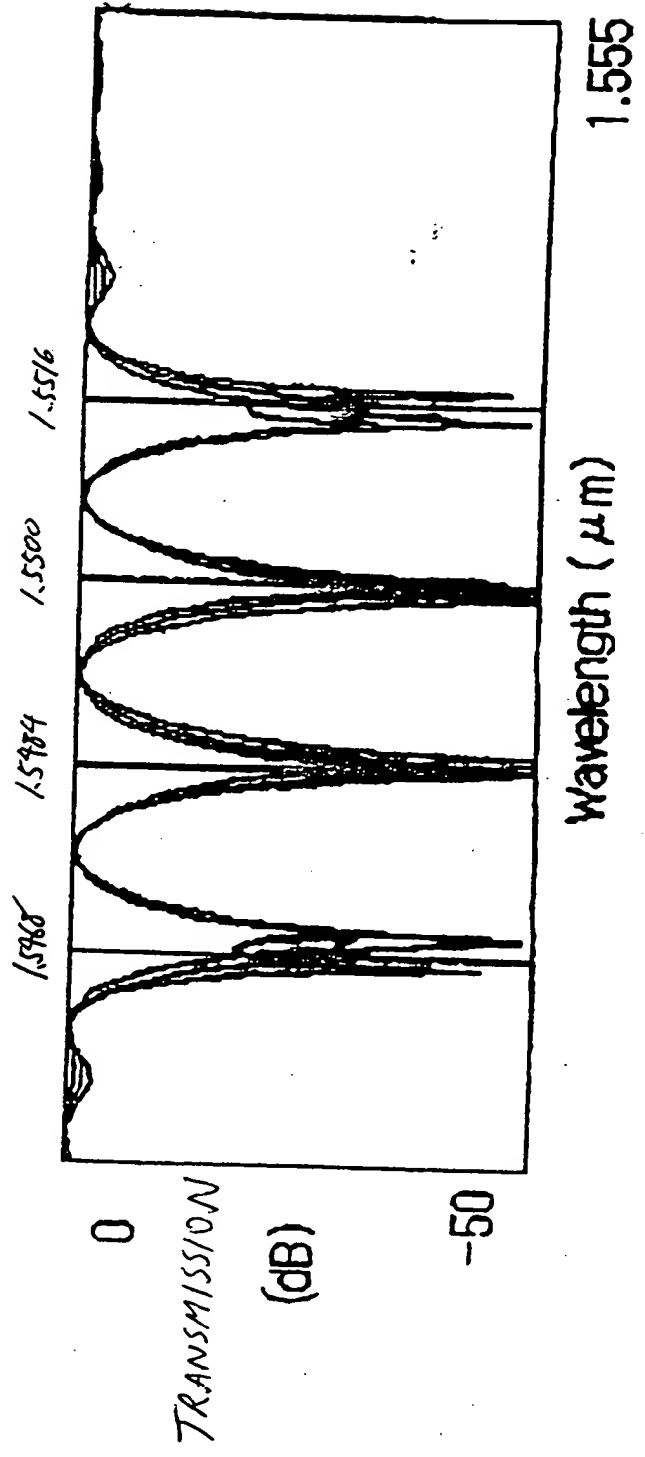
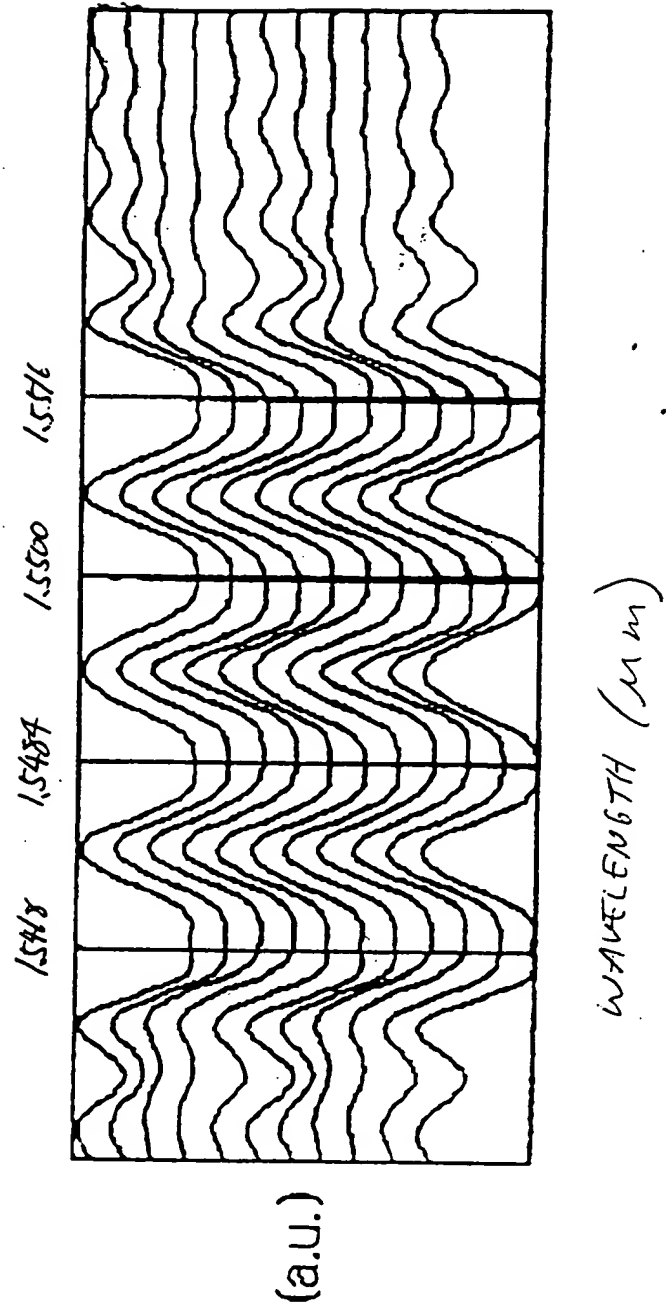


FIG. 28



F/6.29

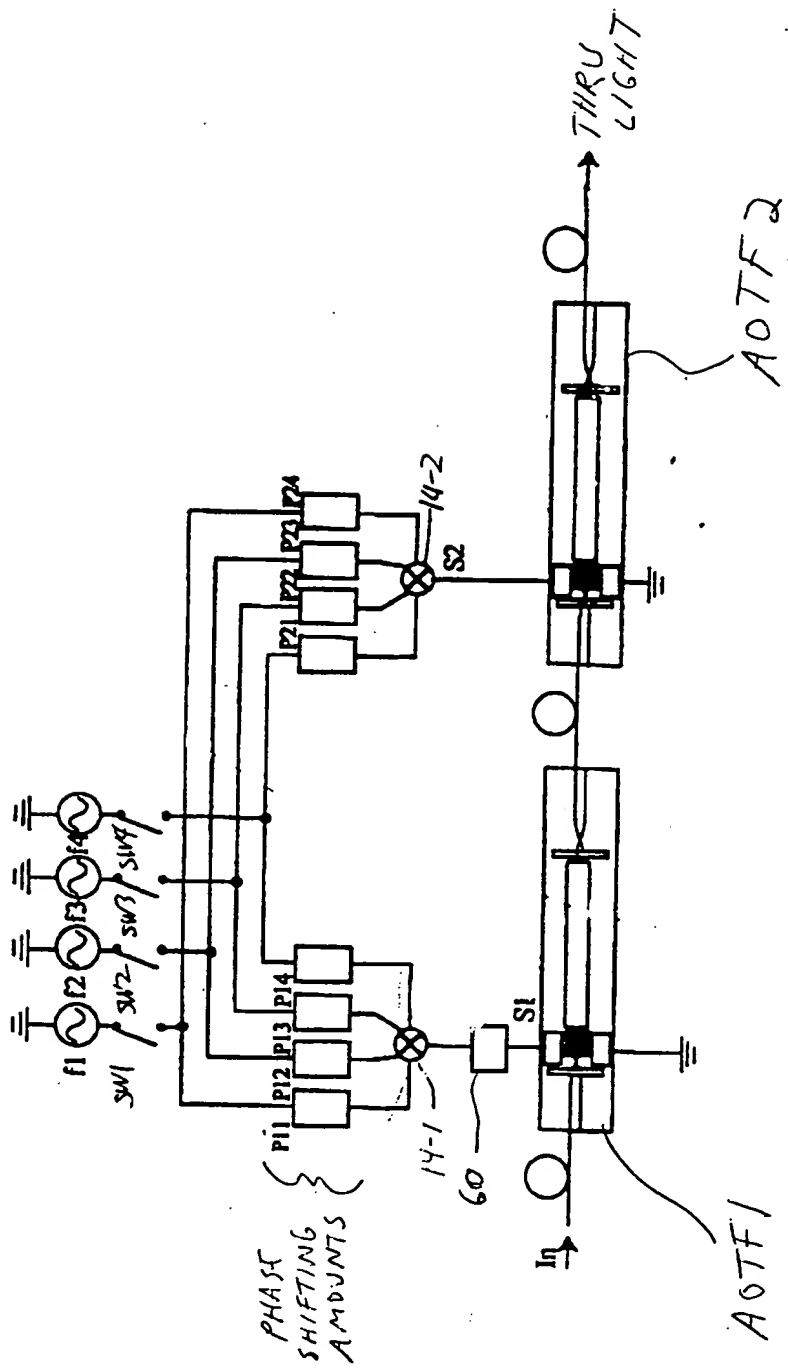


F16.30

	f1	f2	f3	f4	f5	f6
A07F1	0°	0°	0°	0°	0°	0°
A07F2	0°	180°	0°	180°	0°	180°
A07F3						

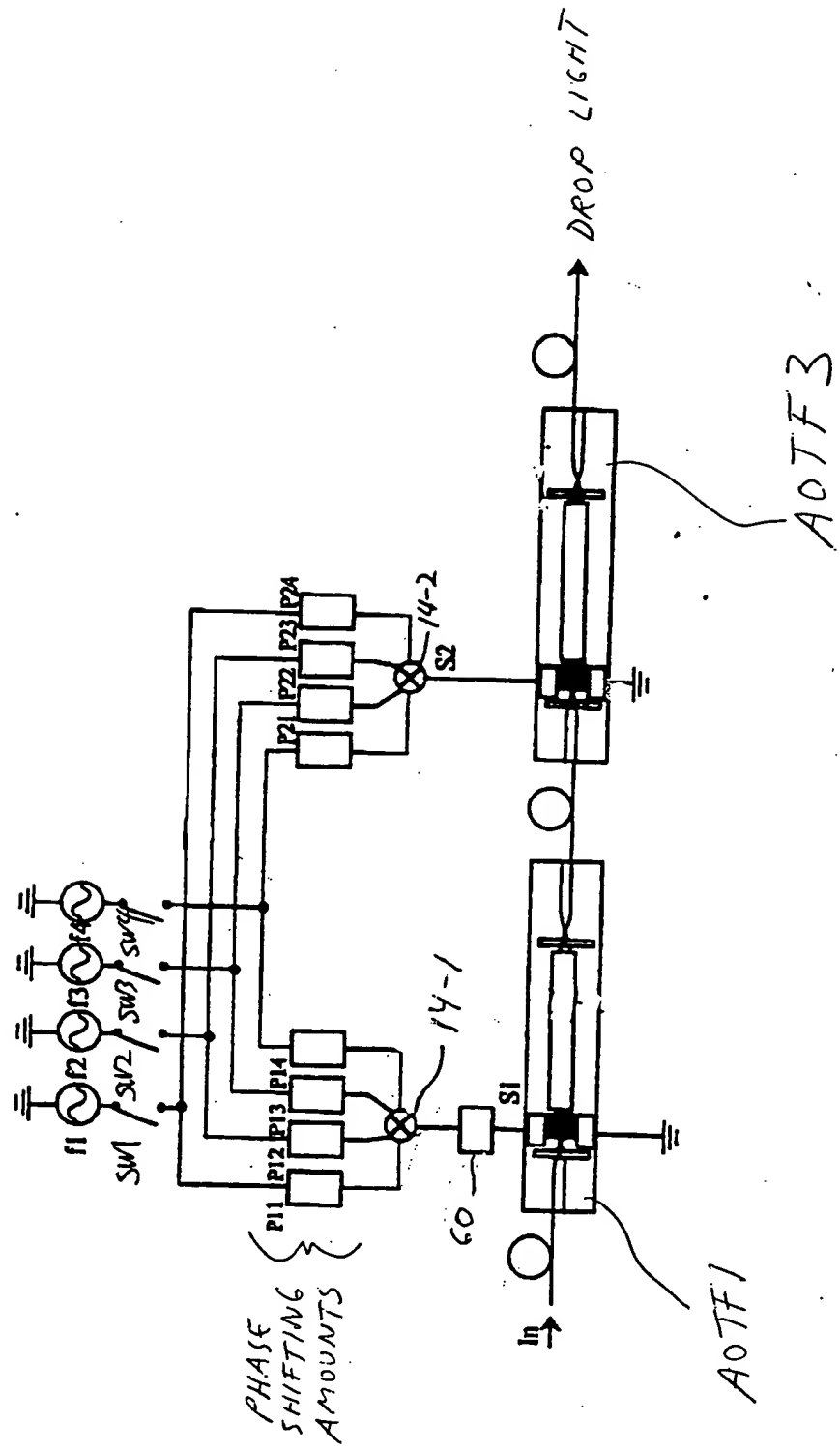
四庫全書

F/6.31



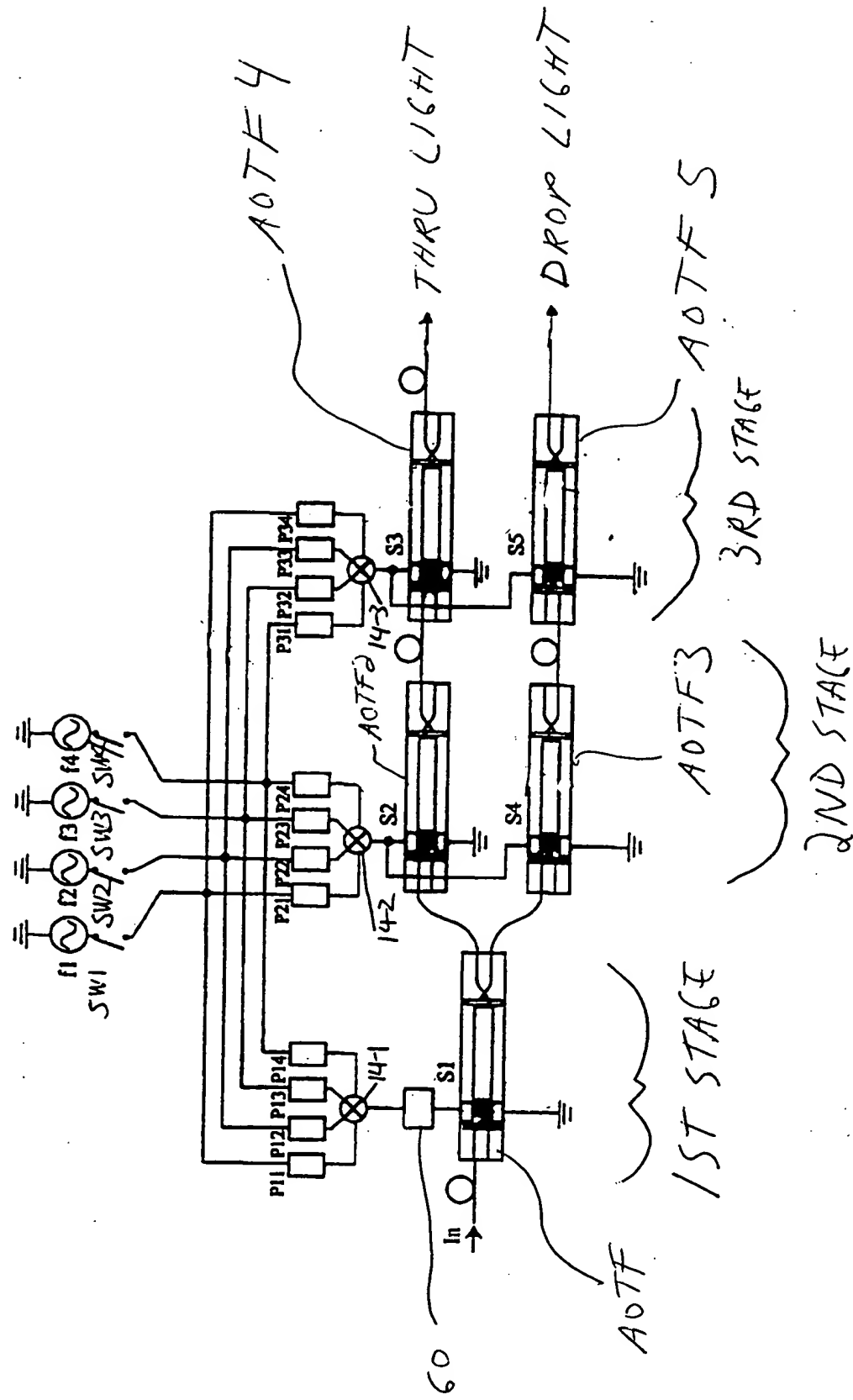
600' T-20" 20' 3 in 200

7/16 32



5000 4000 2000 1000 500

F/6. 33



F/6.34

	f1	f2
AOTF 1	0° (P11)	0° (P12)
AOTF 2	0°	120°
AOTF 3	(P21)	(P22)
AOTF 4	0°	240°
AOTF 5	(P34)	(P33)

FIG. 35

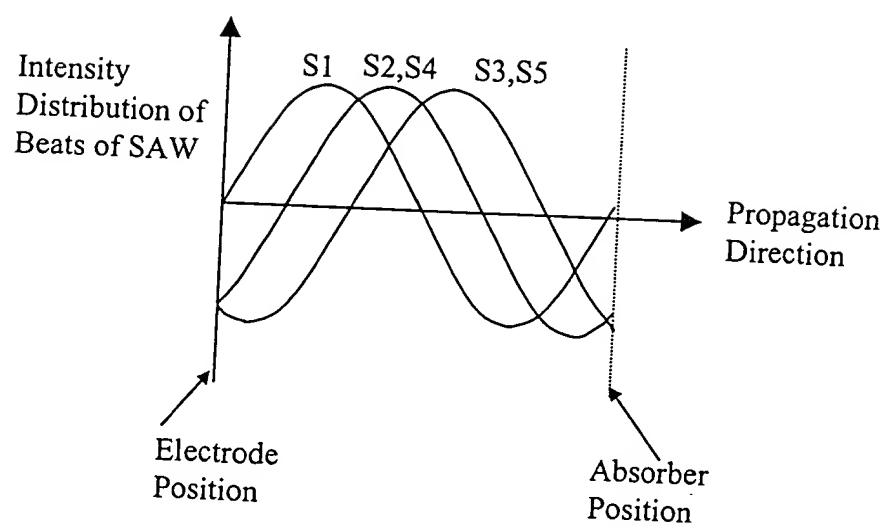


FIG. 36(A)

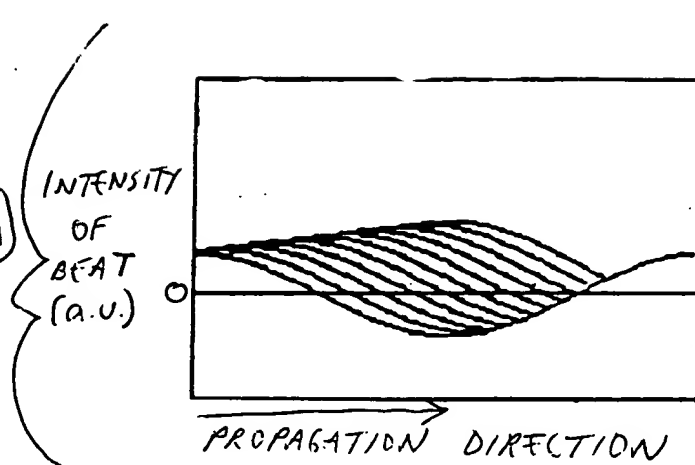


FIG. 36(B)

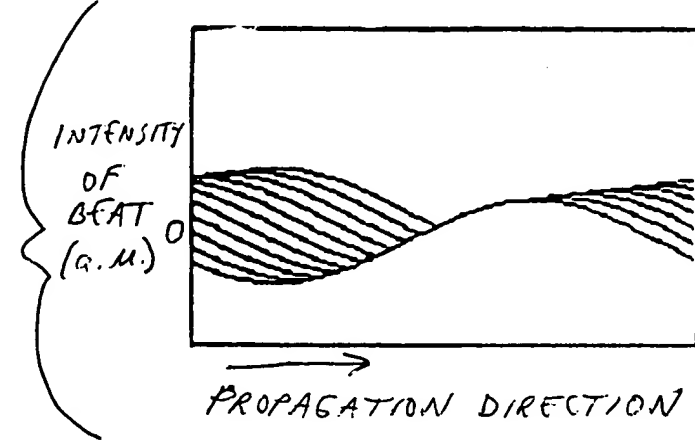
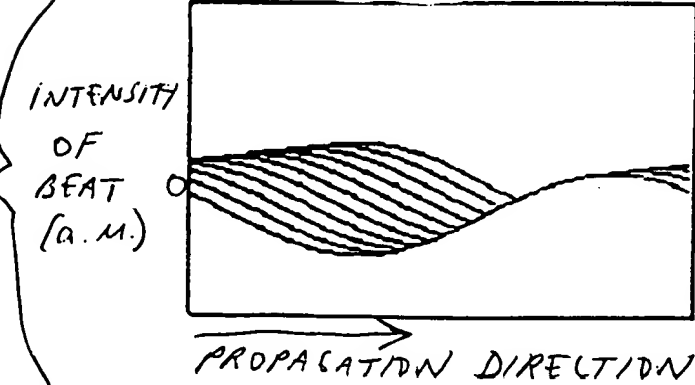
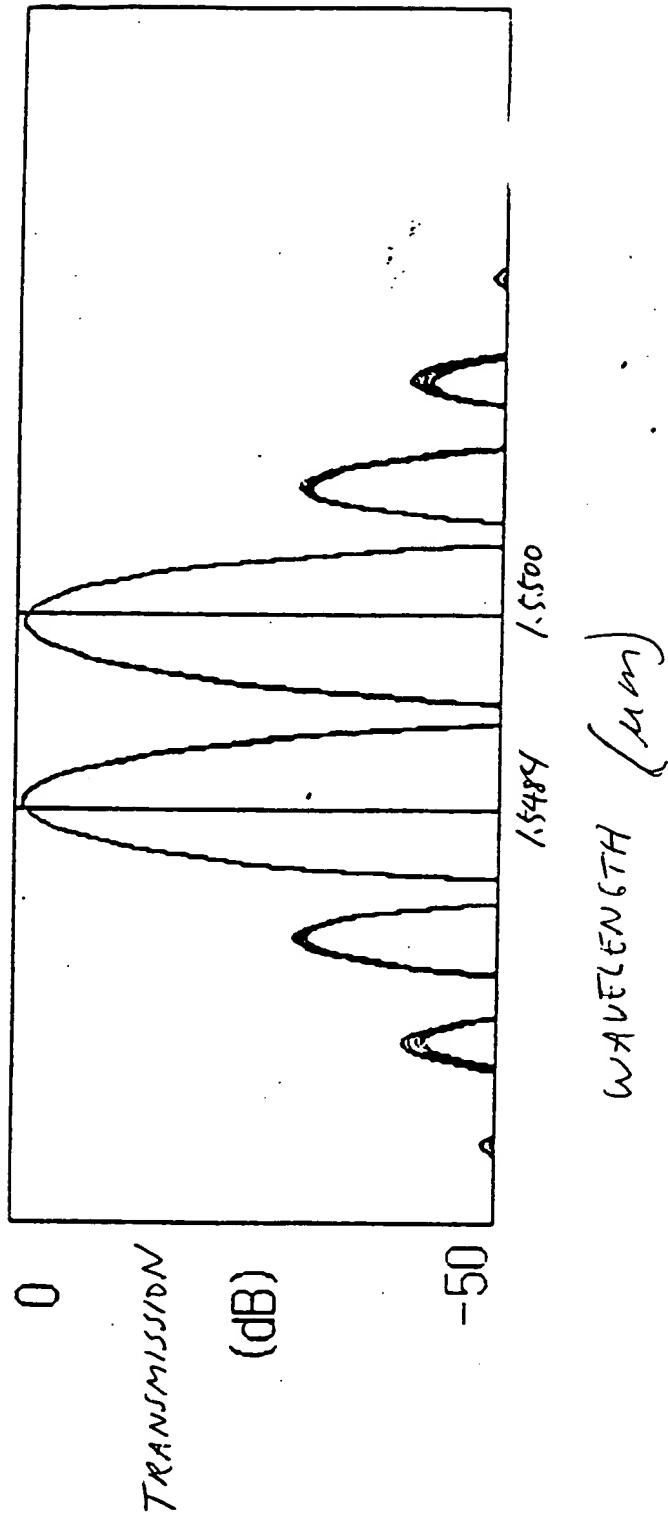


FIG. 36(C)



F/6.37



55474 200-207-200

1638

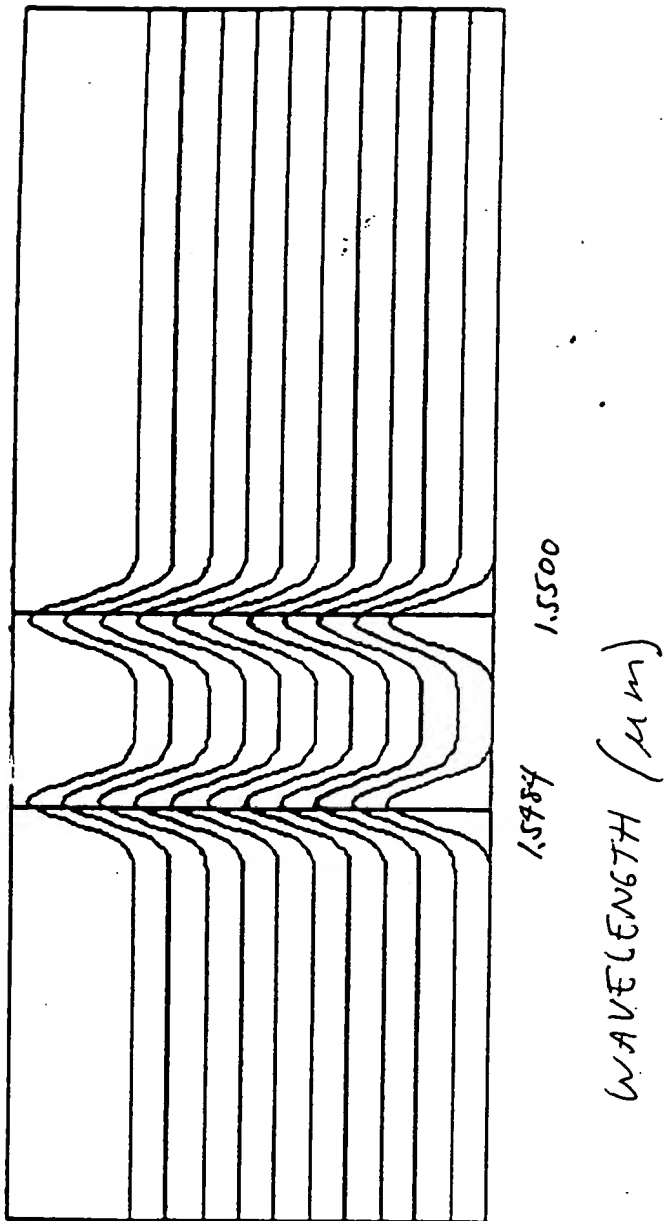


Fig. 39

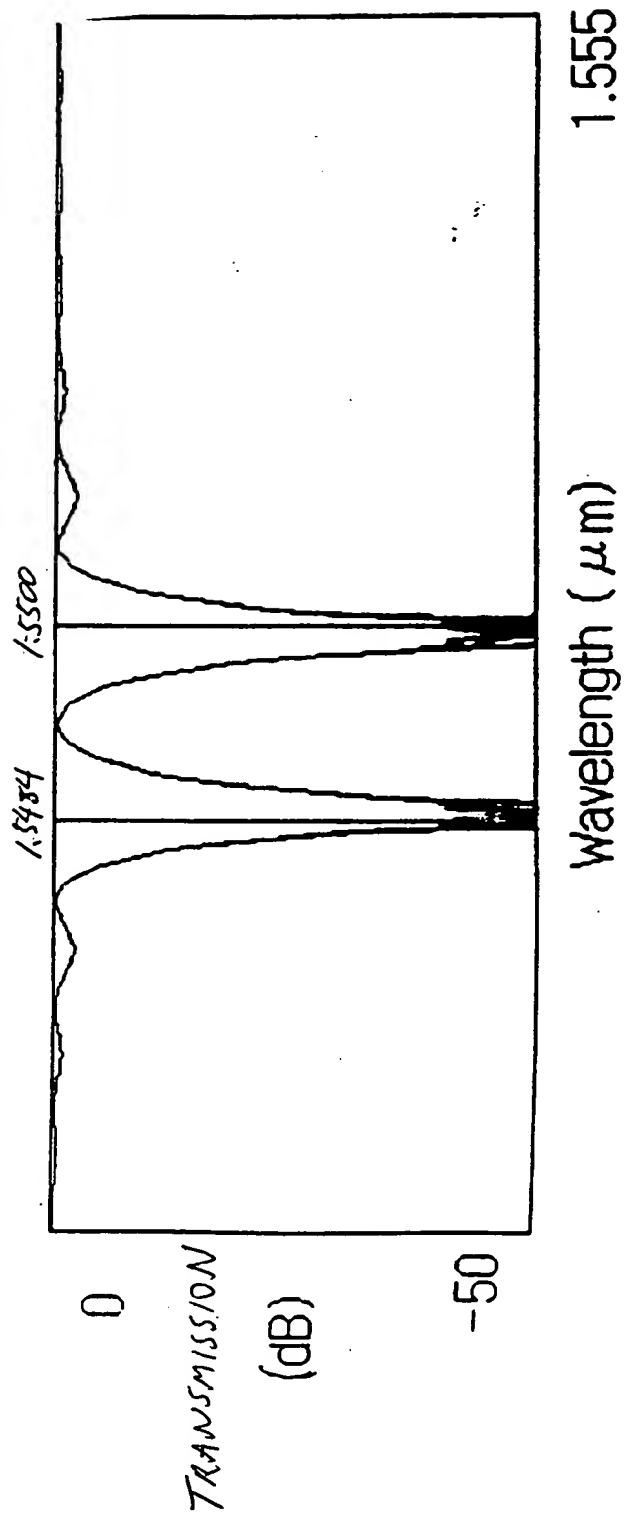
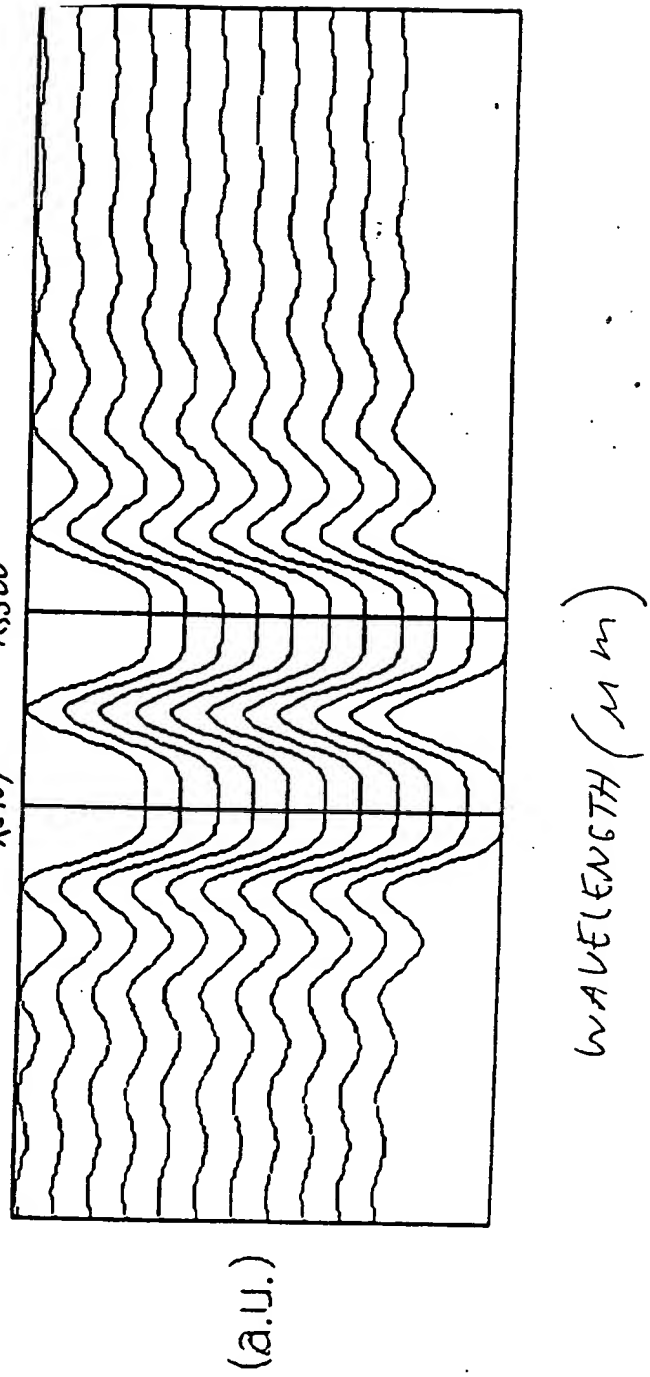


FIG. 40



5/16. 41

	f1	f2	f3	f4
AOTF 1	0° (P11)	0° (P12)	0° (P13)	0° (P14)
AOTF 2	0°	120°	240°	0°
AOTF 3	(P21)	(P22)	(P23)	(P24)
AOTF 4	0°	240°	120°	0°
AOTF 5	(P31)	(P32)	(P33)	(P34)

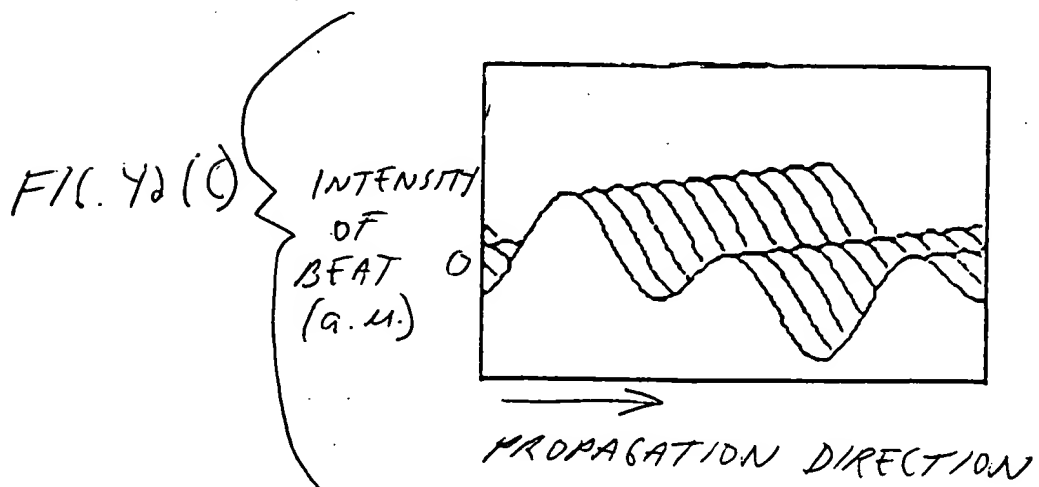
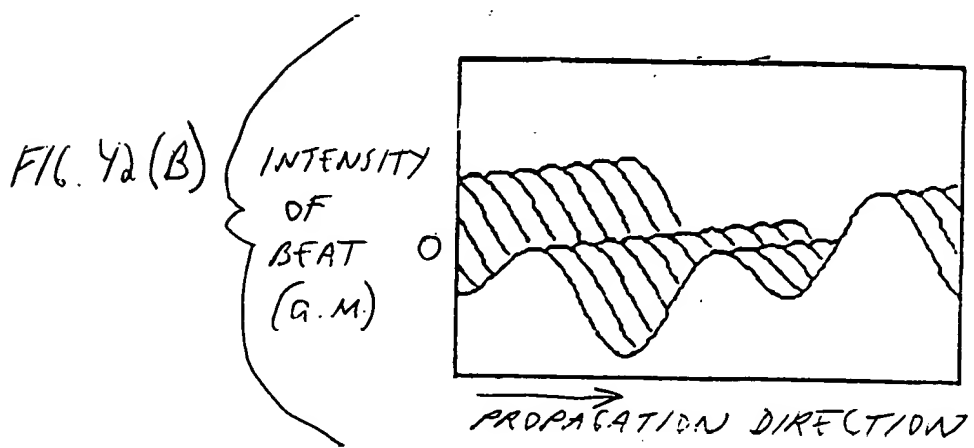
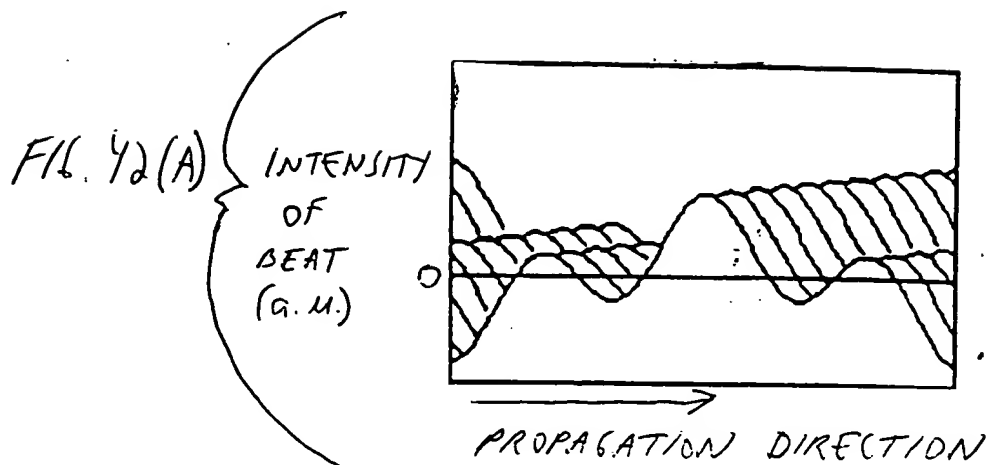


FIG. 43

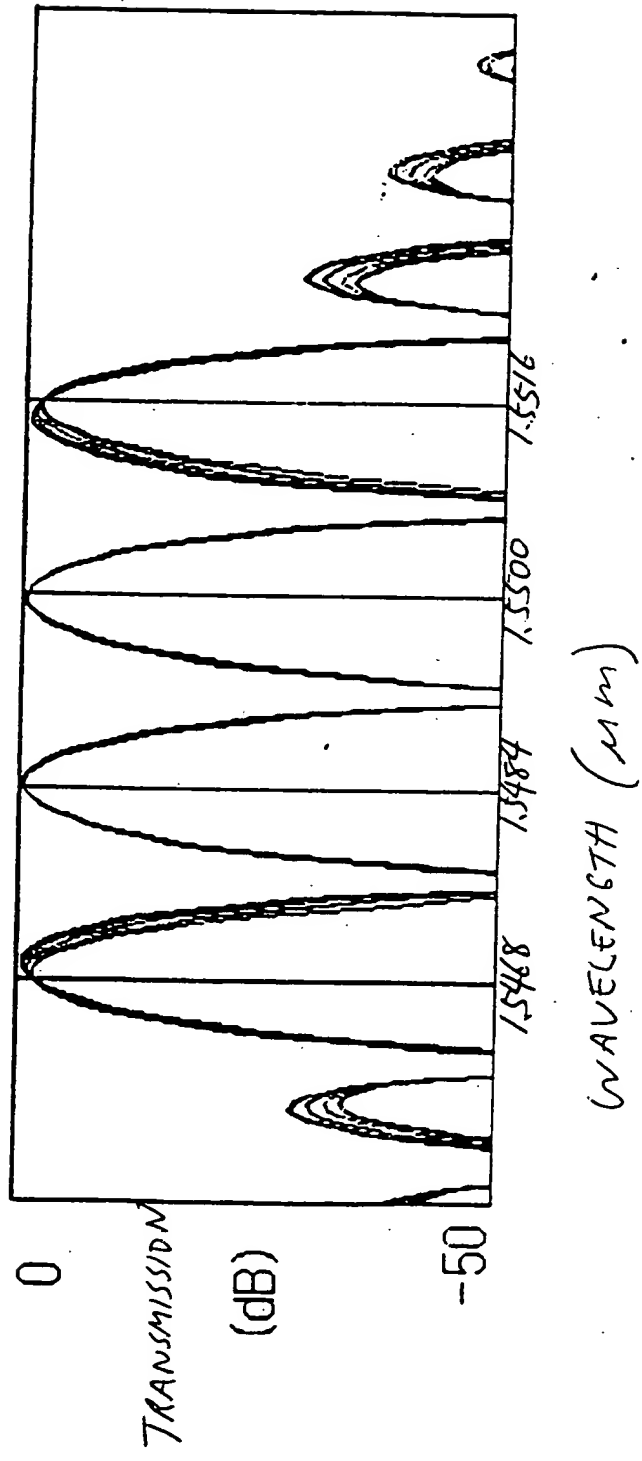
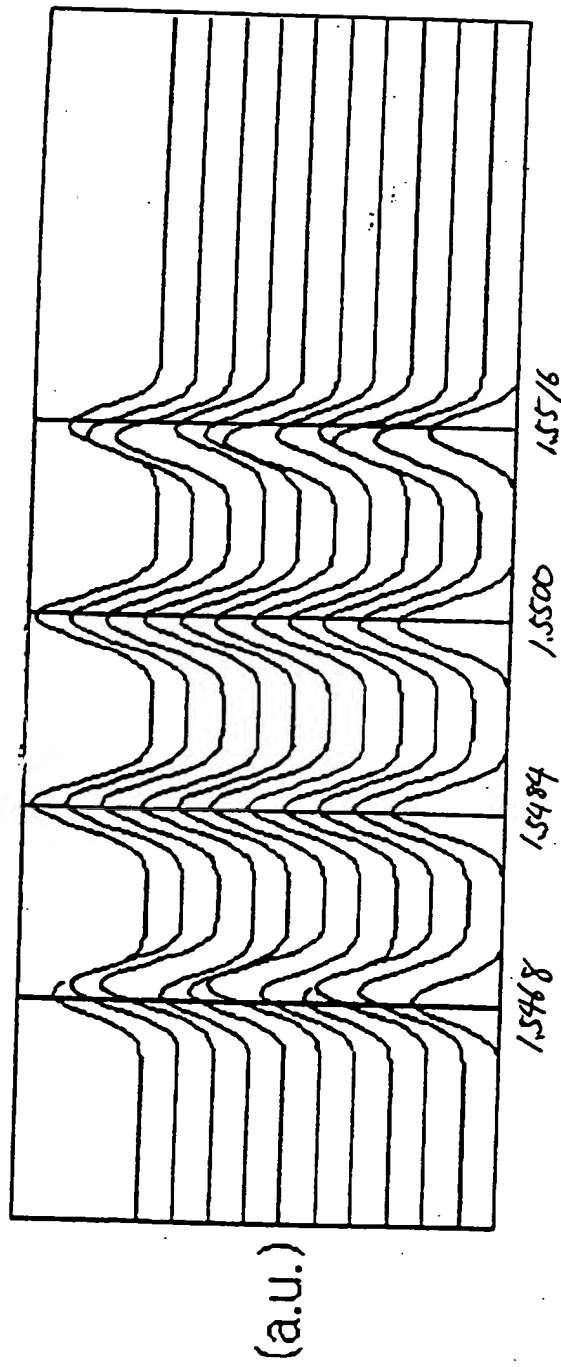
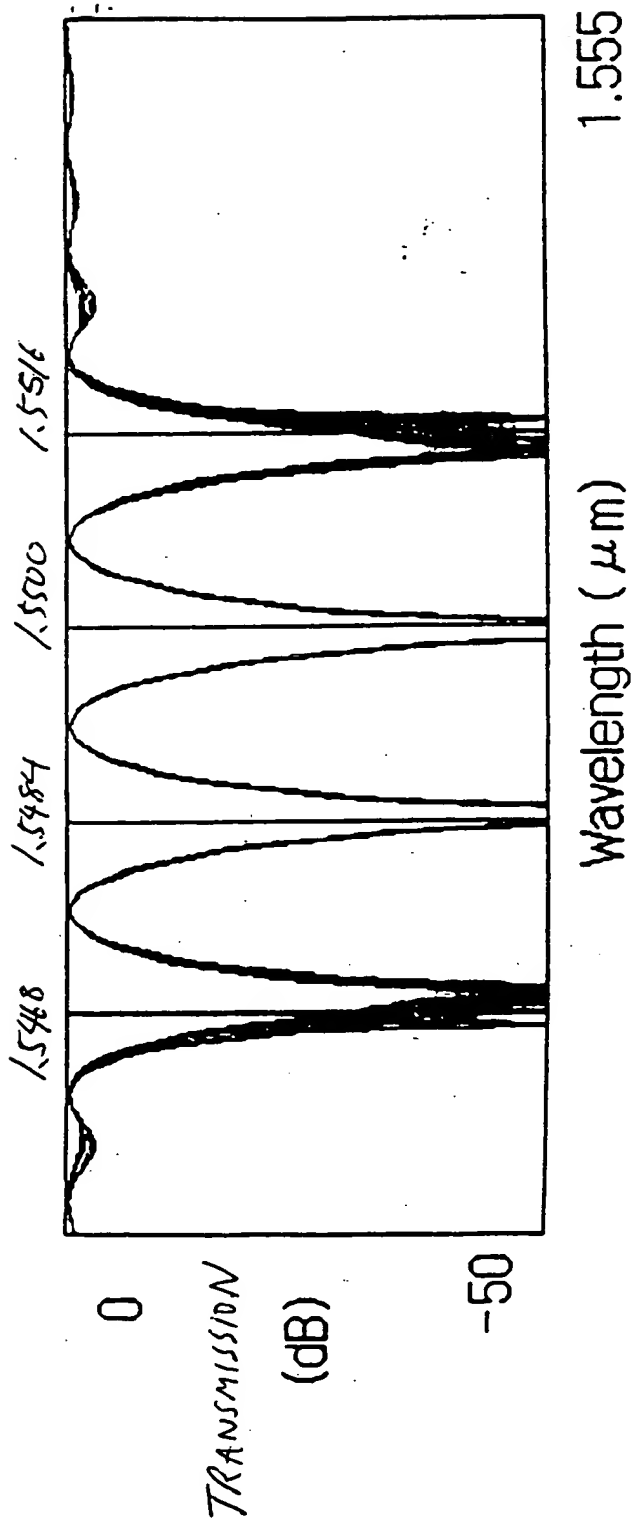


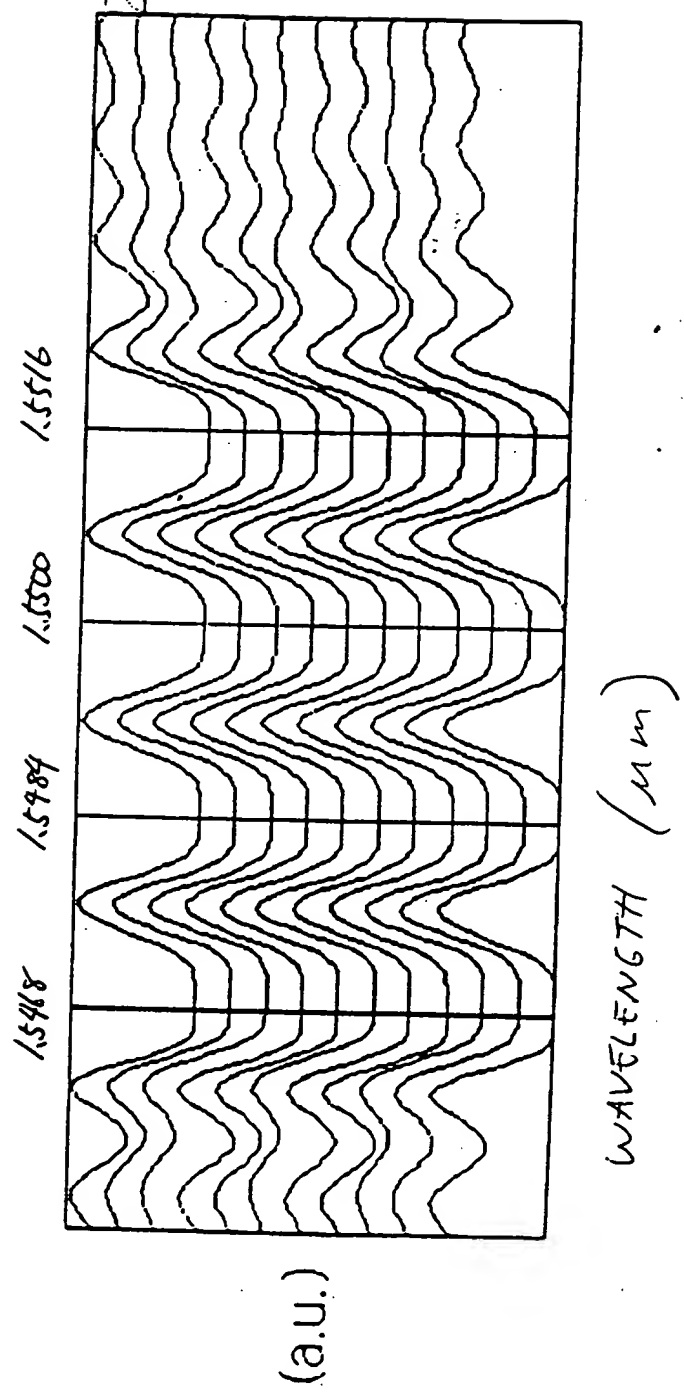
FIG. 44



16.45



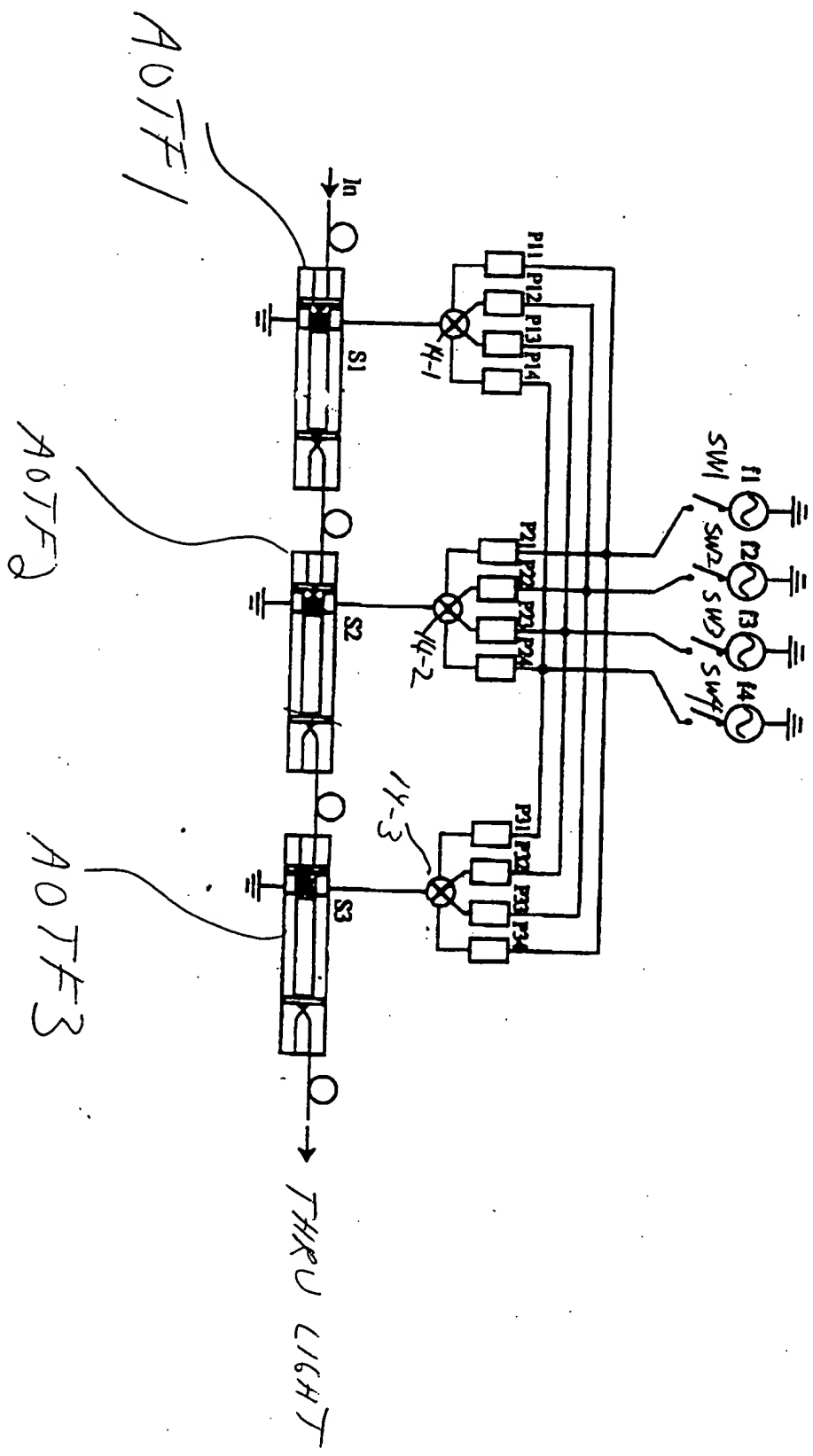
F16. 4/6



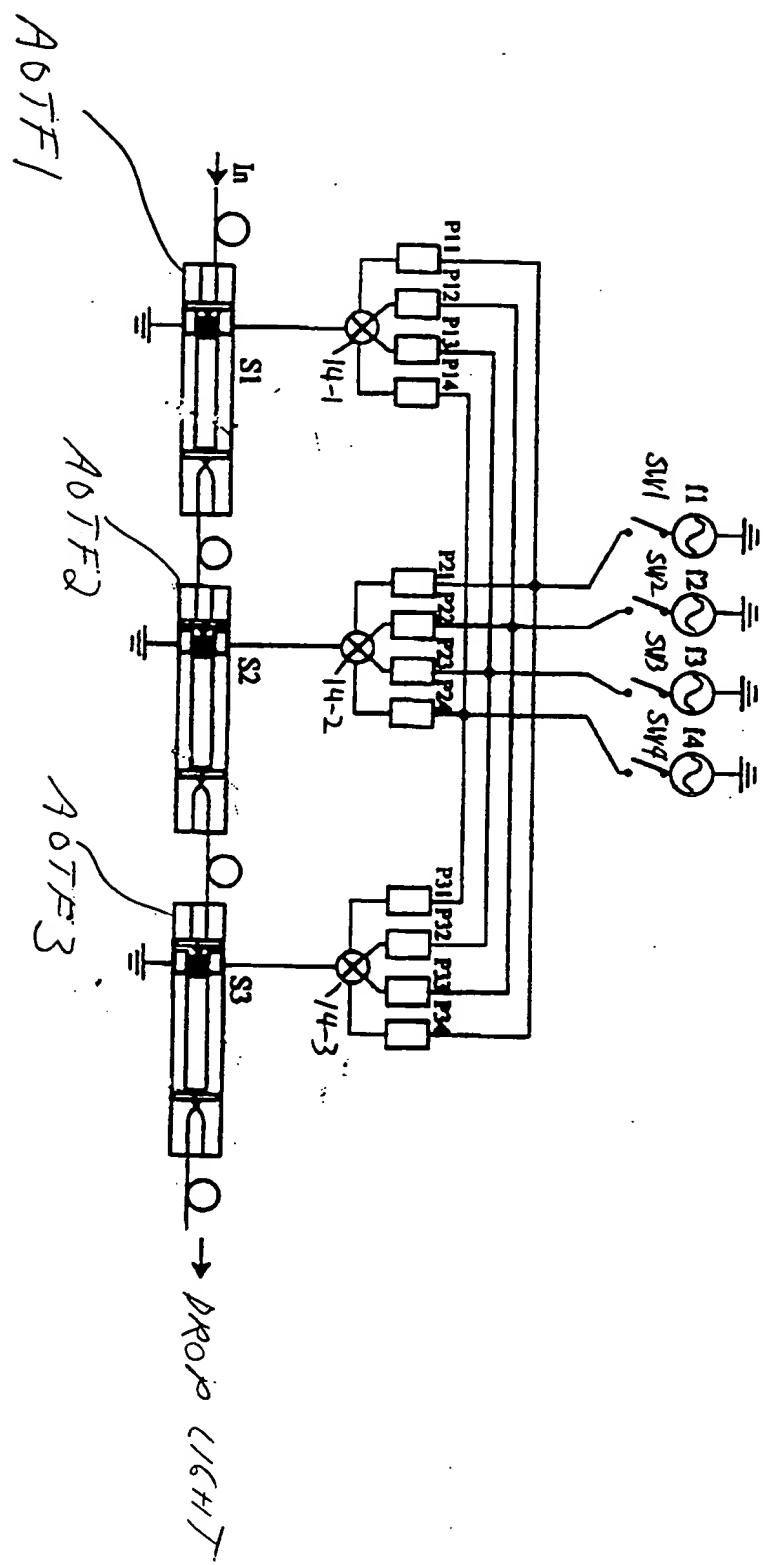
F/6. 47

	f1	f2	f3	f4	f5	f6	f7
AOTF1	0°	0°	0°	0°	0°	0°	0°
AOTF2	0°	120°	240°	0°	120°	240°	0°
AOTF3							
AOTF4	0°	240°	120°	0°	240°	120°	0°
AOTF5							

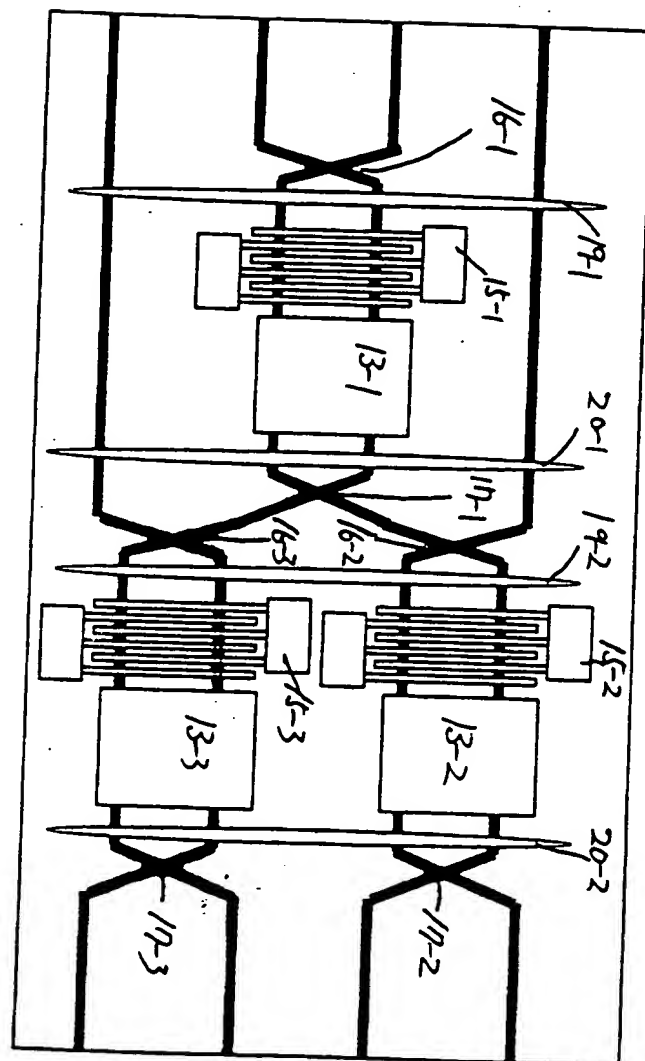
FIG. 48



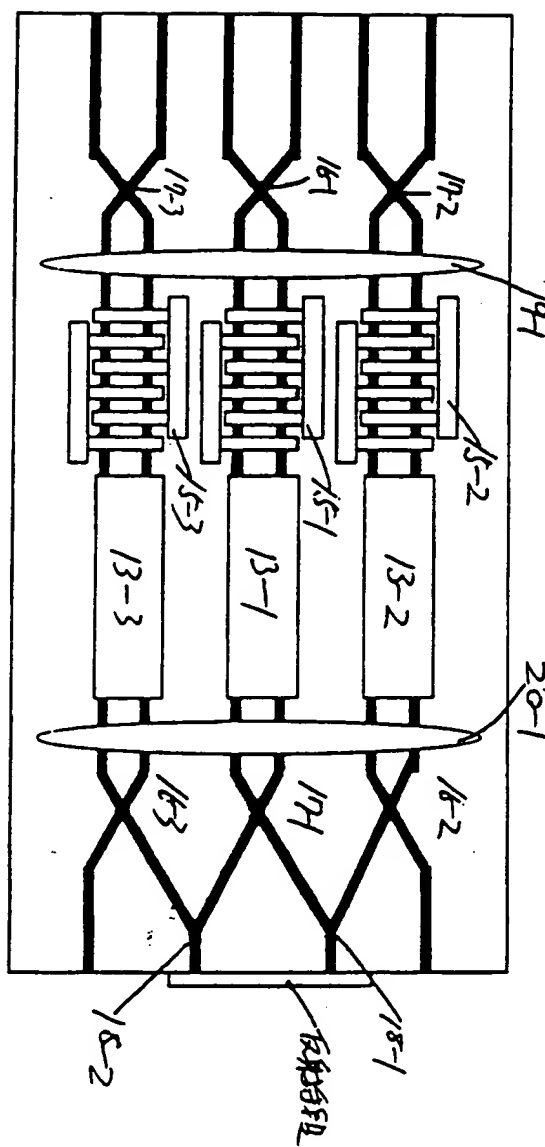
F/6. 49



F/6 50



F/6. 5/



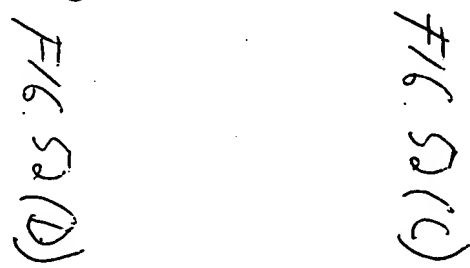
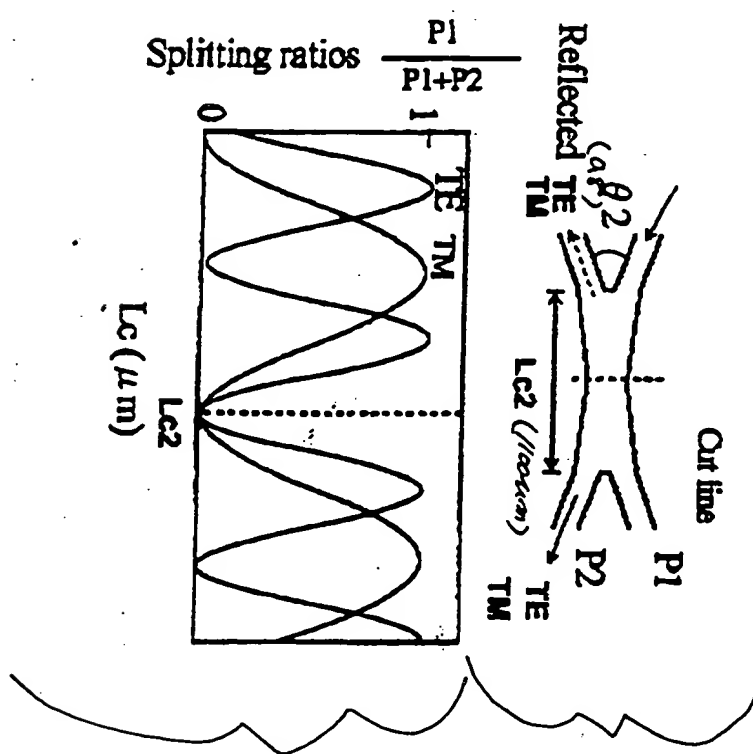
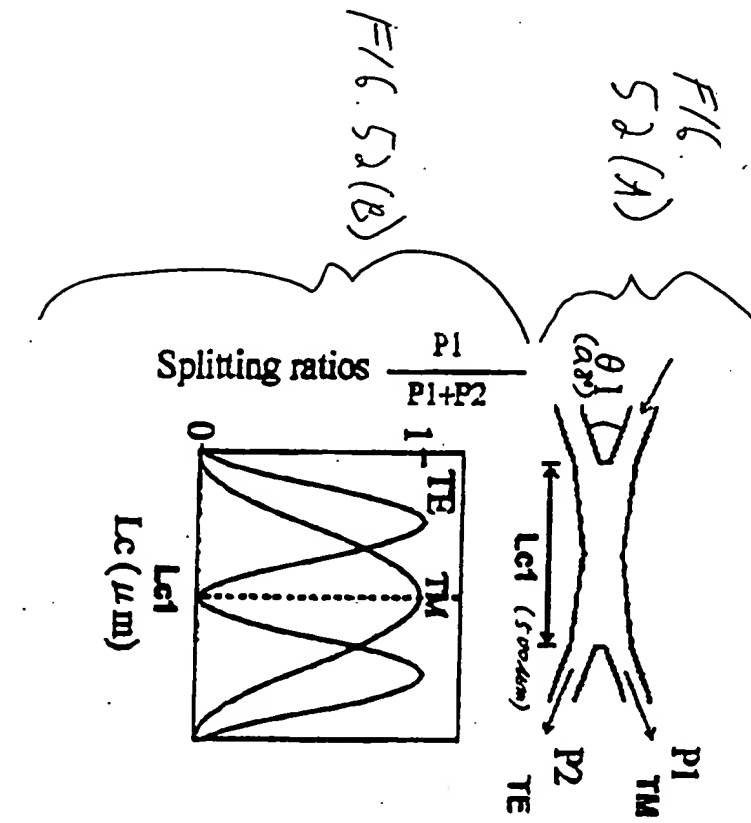


FIG. 53

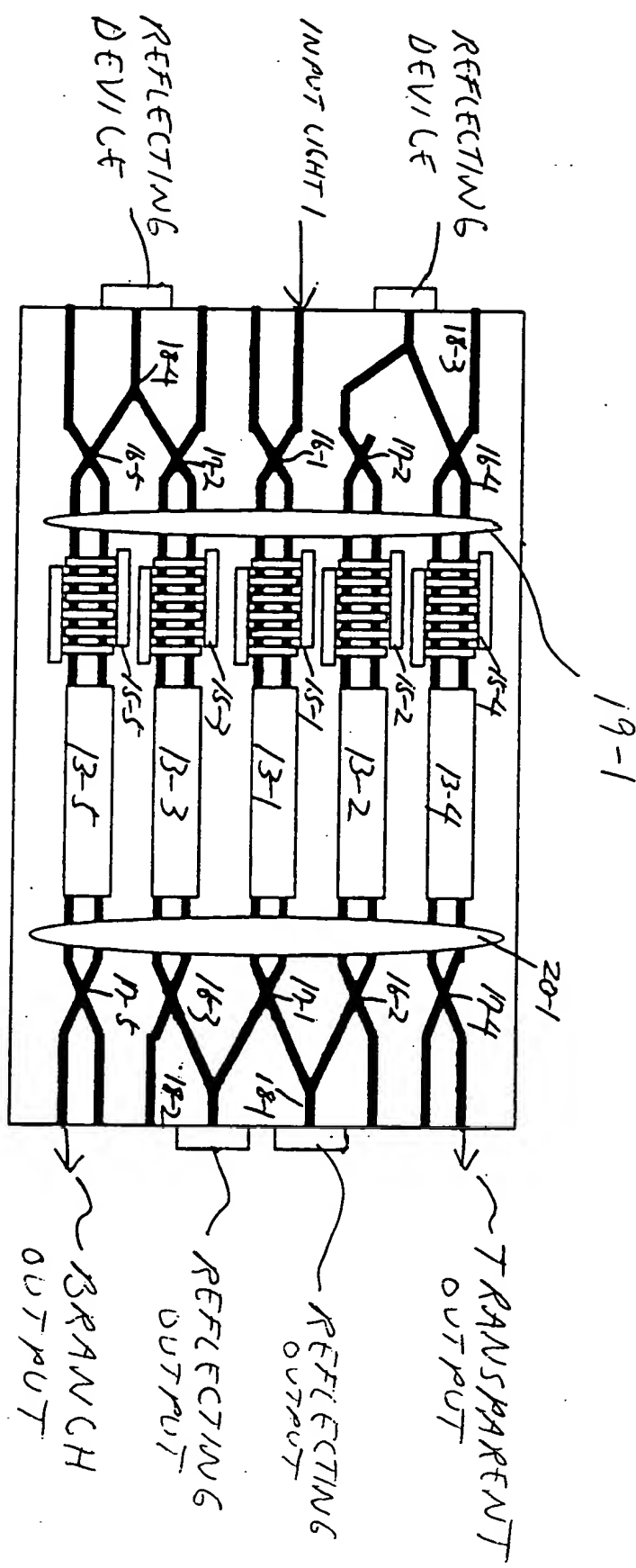
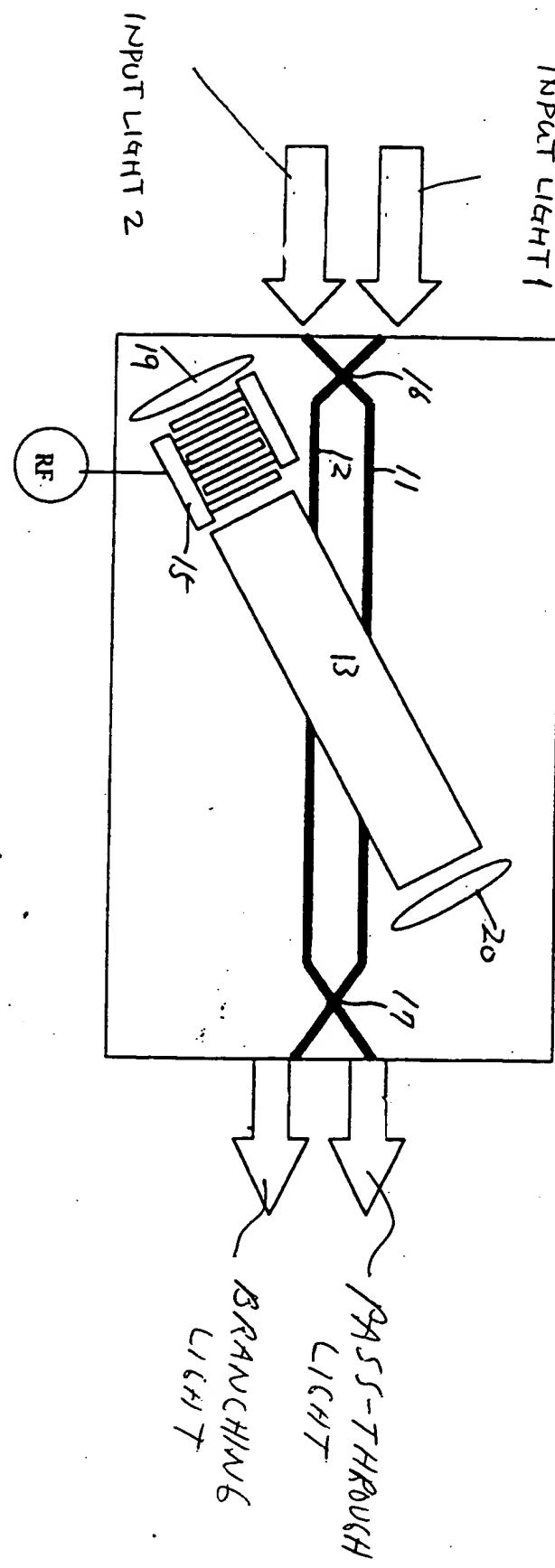
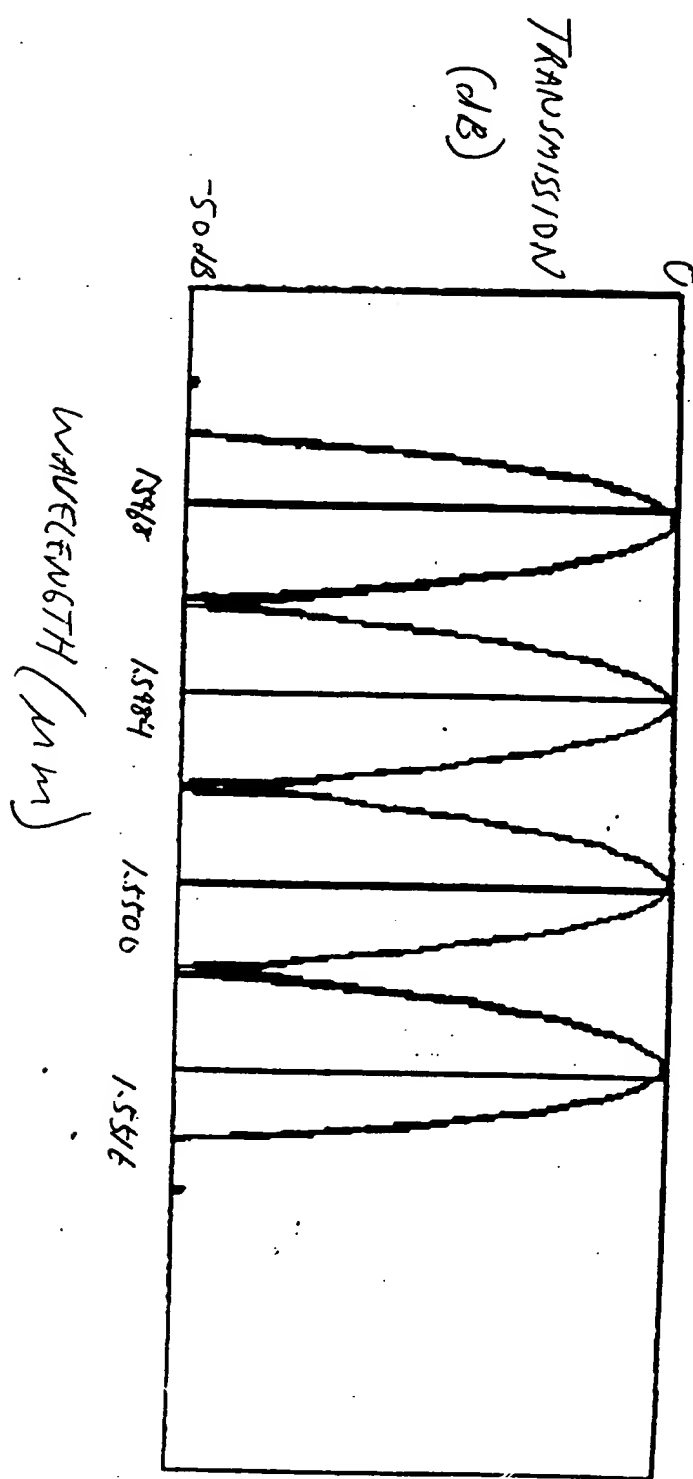


FIG. 54



F/6.55



F16. 56

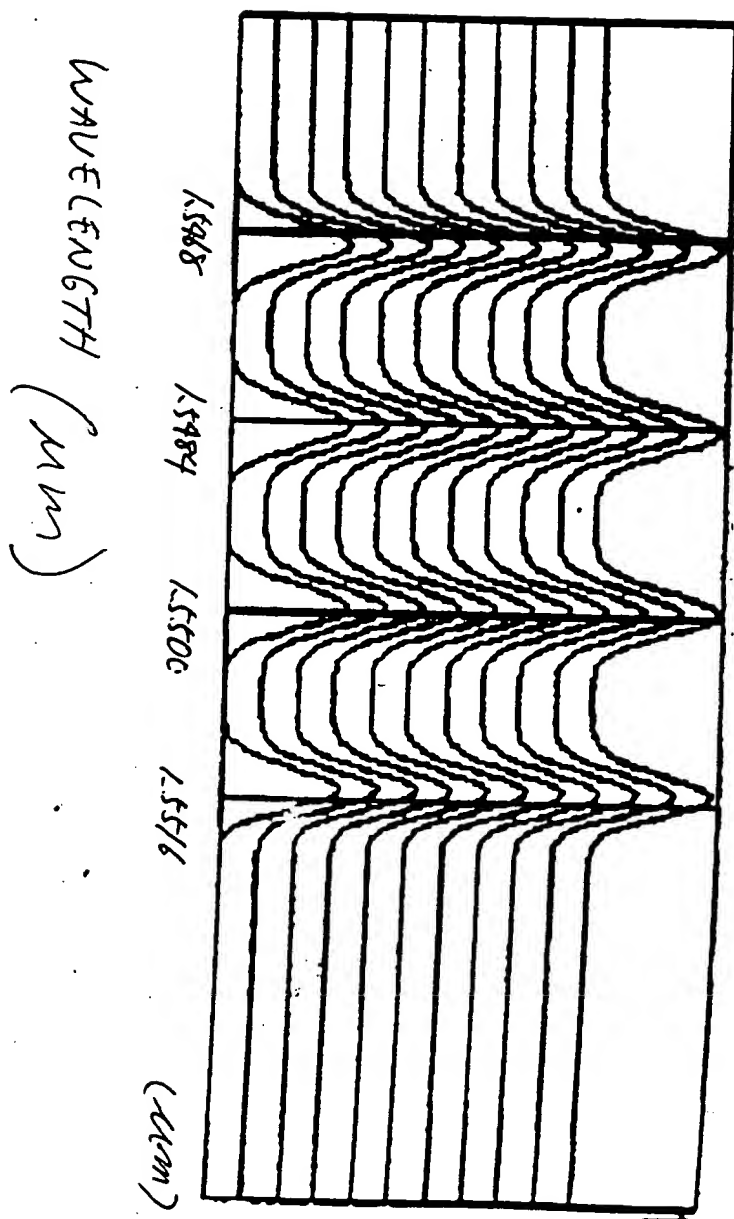
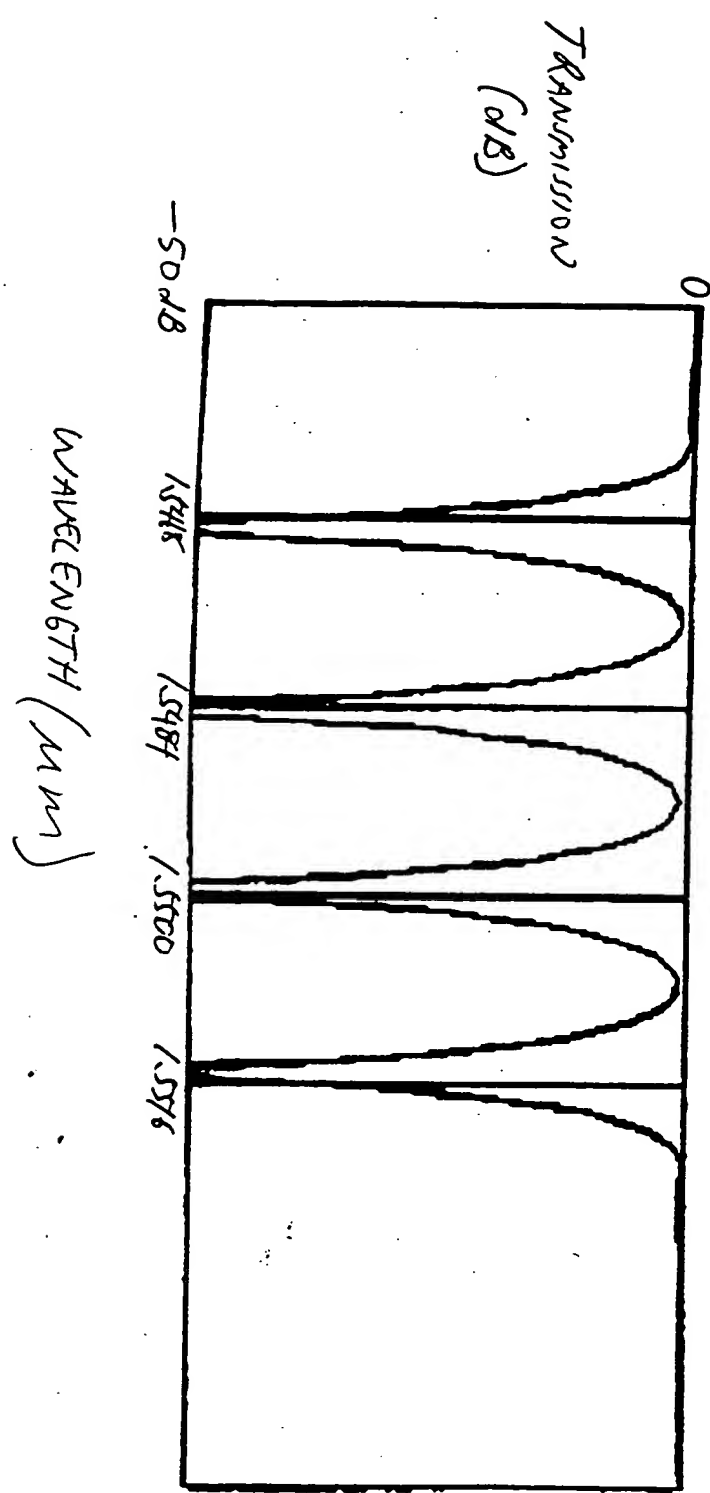
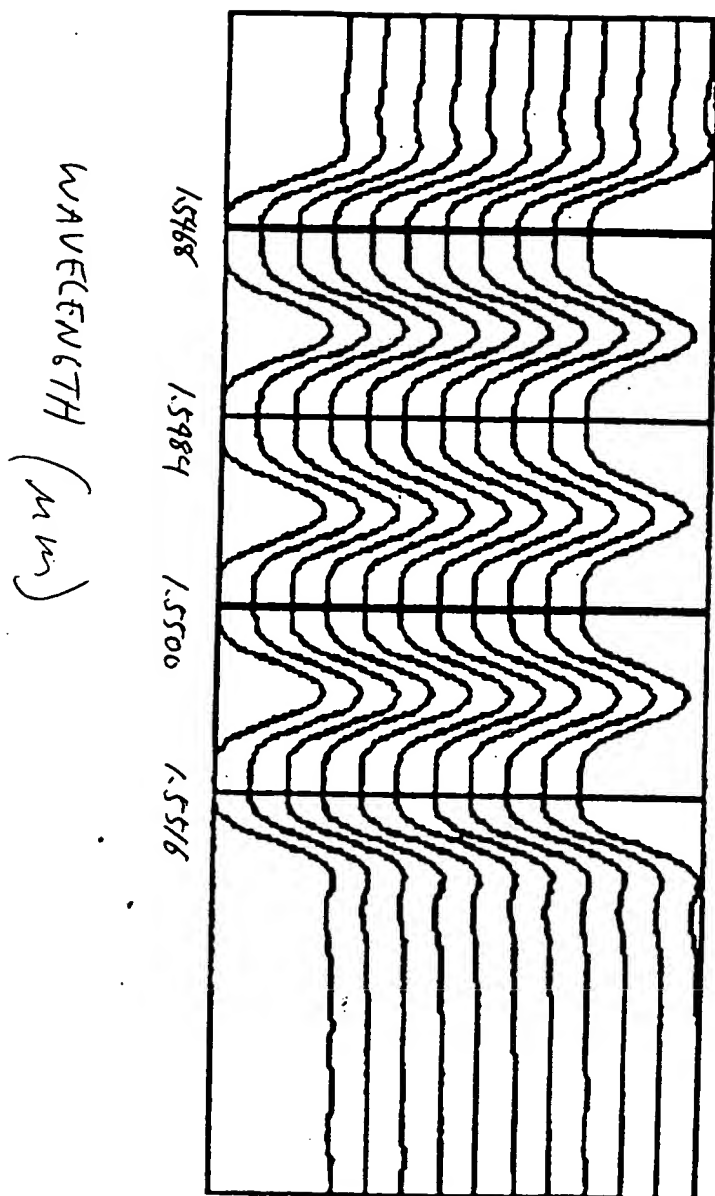


FIG. 57



0.021.03 0.021.03

FIG. 58



F/6.59

